

**İSTANBUL TEKNİK ÜNİVERSİTESİ \* NÜKLEER ENERJİ ENSTİTÜSÜ**

**83063**

**SONLU ELEMANLAR YÖNTEMİ İLE  
EK AKI HESABI**

**YÜKSEK LİSANS TEZİ  
Müh. Özer GÜLCE**

**Tezin Enstitüye Verildiği Tarih : 11 Ocak 1999  
Tezin Savunulduğu Tarih : 01 Şubat 1999**

**Tez Danışmanı : Prof. Dr. Atilla ÖZGENER**

**Diğer Jüri Üyeleri : Prof. Dr. Melih GEÇKİNLİ ( İTÜ )** *Melih Geçkinli 21.0*  
**Doç.Dr. Akif ATALAY ( İTÜ )** *Akif Atalay 22/02/99*

**TC. YÖK İSTANBUL ÜNİVERSİTESİ  
DOKÜmantasyon MERKEZİ**

**ŞUBAT 1999**

## ÖNSÖZ

Enstitümdeki öğrenim ve tez çalışmalarımız süresince öğrencileri olmaktan gurur duyduğum, her zaman ve her koşulda benden yardımlarını, engin ve sıcak ilgilerini, yol göstericiliklerini esirgemeyen, inanılmaz sabırları, üstün bilgi ve becerileri ile bana öğrenim sürecimde ve tez çalışmamda destek olan ve benimle bilgiyi paylaşan danışman öğretmenim **Prof.Dr. Atilla ÖZGENER** ve **Doç.Dr. Bilge ÖZGENER** 'e teşekkür ve minnettarlığımı, en içten sevgi ve saygımla arz ederim.

Değerli katkıları için **Prof.Dr. Melih GEÇKİNLİ** ve **Doç.Dr. Akif ATALAY** 'a teşekkürü bir borç bilirim.

Tüm öğrenim hayatım boyunca benden sevgilerini, desteklerini, bilgilerini, özverilerini esirgemeyen ve ilk öğretmenlerim olan aileme; babam **Arif GÜLCE** 'ye, annem **Emine Yurdanur GÜLCE** 'ye, abim **Tamer GÜLCE** 'ye, yengem **Nazan Güven GÜLCE** 'ye ve yine ailem kadar bana yakın olan **ERDEM, ŞUMNULU, TAŞDELEN** ve **TAŞKENT** ailelerine sonsuz teşekkürlerimi saygımla arz ederim.

Değerli enstitümüzün değerleri öğretmenlerine ve değerli çalışanlarına güzel Cumhuriyet'imize 75inci şeref yılında en içten sevgi ve saygımla ...

12 , 1998

Özer GÜLCE

## **İÇİNDEKİLER**

<b>KISALTMALAR</b>	<b>IV</b>
<b>TABLO LİSTESİ</b>	<b>V</b>
<b>ŞEKİL LİSTESİ</b>	<b>VI</b>
<b>SEMBOL LİSTESİ</b>	<b>VII</b>
<b>ÖZET</b>	<b>VIII</b>
<b>SUMMARY</b>	<b>X</b>
<b>1. GİRİŞ</b>	<b>13</b>
<b>2. TEORİ</b>	<b>16</b>
2.1. EK-AKİ KAVRAMI	16
2.1.1. Çok Gruplu Difüzyon Teorisi Yetkinlik Hesapları	16
2.1.2. Çok Gruplu Difüzyon Teorisinde Ek Operatörler	17
2.1.3. Çok Gruplu Perturbasyon Teorisi Yaklaşımı	19
2.1.4. Noktasal Perturbasyon Kavramı ve Ek Akının Fiziksel Yorumu	21
2.1.5. Fisyon Kaynağı İterasyonunda Grup İçi Denklemler	23
2.2. SONLU ELEMANLAR YÖNTEMİ	24
2.2.1. Ağırlaştırılmış Kalıntılar İlkesi	24
2.2.2. Sonsuz Silindirik Geometride Galerkin Türü Sonlu Elemanlar Yaklaşımı	27
2.2.3. Kaynak Vektörü Hesabı	34
<b>3. UYGULAMALAR</b>	<b>37</b>
3.1. ANALİTİK ÇÖZÜMÜ BULUNAN PROBLEMLER ARACILIĞI İLE SINAMA	37
3.1.1. Çiplak , Homojen Reaktörün Tek Gruplu Difüzyon Teorisi Analizi	37
3.1.2. Çiplak , Homojen Reaktörün İki Gruplu Aki ve Ek Aki Dağılımlarının İrdelenmesi	39
3.1.3. Yansıtıcılı Reaktörün İki Gruplu Teori Analizi , Ek Aki ve Aki Dağılımları	42
3.2. İ T Ü TRIGA MARK - II REAKTÖRÜ EK-AKİ HESABI	49
<b>4. SONUÇLAR VE TARTIŞMA</b>	<b>54</b>
<b>KAYNAKLAR</b>	<b>56</b>
<b>EKLER</b>	<b>58</b>
<b>ÖZGEÇMİŞ</b>	<b>59</b>

## **KISALTMALAR**

**D<sub>i</sub>** : i ‘inci enerji grubuna ait difüzyon katsayısı.

**k** : Nükleer sistemin çoğaltma katsayısı .

**k<sub>i</sub>** : Çoğaltma katsayısının i inci iterasyondaki değeri.

**L** : Nötron transport operatörü.

**A<sub>≡</sub><sup>+</sup>** : Bir A matrisinin “ek” matrisi .

**A<sub>≡</sub><sup>T</sup>** : Bir A matrisinin transpozesi.

**A'** : A büyüklüğünün perturbasyon tatbikinden sonra aldığı değer.

**S** : Nötron kaynağı şiddeti.

## TABLO LİSTESİ

	<u>Sayfa No</u>
<b>Tablo 2.1</b> Deneme Fonksiyonları .....	30
<b>Tablo 3.1</b> Triga Hızlı Grup Homojenleştirilmiş Halka Tesir Kesitleri .....	51
<b>Tablo 3.2</b> Triga Termal Grup Homojenleştirilmiş Halka Tesir Kesitleri ...	51
<b>Tablo 3.3</b> 75_YIL ve CEBIS Halka Ortalama Hızlı Açı ve Ek-Açı Karşılaştırması .....	52
<b>Tablo 3.4</b> 75_YIL ve CEBIS Halka Ortalama Termal Açı ve Ek-Açı Karşılaştırması .....	53

## **SEKİL LİSTESİ**

	<b>Sayfa No</b>
<b>Şekil 2.1</b>	Genel Sistem .....
<b>Şekil 2.2</b>	Silindirik Sistem .....
<b>Şekil 2.3</b>	Sistemin Sonlu I Elemana Bölünmesi .....
<b>Şekil 3.1</b>	Çıplak Homojen Reaktörde Tek Gruplu Ek-Akı Dağılımı ....
<b>Şekil 3.2</b>	Çıplak Homojen Reaktörde Hızlı Grup Akı ve Ek-Akı Dağılımı .....
<b>Şekil 3.3</b>	Çıplak Homojen Reaktörde Termal Grup Akı ve Ek-Akı Dağılımı .....
<b>Şekil 3.4</b>	Yansıtıcılı Reaktörde Hızlı-Termal Grup Akı ve Ek-akı Dağılımları .....
<b>Şekil 3.5</b>	İ T Ü Triga Mark - II Reaktörü Kalp Düzeni .....
<b>Şekil 3.6</b>	İ T Ü Triga Mark - II Reaktörü Hızlı ve Termal Akı Dağılımı .....
<b>Şekil 3.7</b>	İ T Ü Triga Mark - II Reaktörü Hızlı ve Termal Ek-Akı Dağılımı .....

## **SEMBOLLER**

$\rho$  : Reaktivite

$\Delta\rho$  : Reaktivitedeki değişim.

$\delta$  : Perturbasyon miktarını gösteren ön taki.

$\Sigma_a$  : Makroskopik yutma etkin kesiti.

$\Sigma_{a,2}$  : Termal makroskopik yutma etkin kesiti.

$\Sigma_f$  : Makroskopik fisyon etkin kesiti.

$\Sigma_{f,1}$  : Makroskopik hızlı fisyon etkin kesiti.

$\Sigma_{f,2}$  : Makroskopik termal fisyon etkin kesiti.

$\Sigma_{s,2-1}$  : Nötronların hızlı gruptan termal gruba saçılma makroskopik etkin kesiti.

$\Sigma_{r,g}$  :  $g$ inci grup çıkartma makroskopik tesir kesiti.

$\mathcal{O}_i$  : Nötron akısı ( $i = 1$  hızlı,  $i = 2$  termal)

$\underline{\mathcal{O}}_i$  : Ortalama nötron akısı ( $i = 1$  hızlı,  $i = 2$  termal)

$\mathcal{O}_i^+$  : Nötron ek akısı ( $i = 1$  hızlı,  $i = 2$  termal)

$v_i$  : Bir fisyondan çıkan nötron sayısı ( $i = 1$  hızlı,  $i = 2$  termal)

$\chi_g$  : Bir fisyon nötronunun  $g$ nci grup enerji aralığında doğma olasılığı.

$\langle \rangle$  : İç çarpım

$\underline{\underline{f}}$  :  $f$  vektörlerinden oluşan bir uzay üzerinde iş gören matrisyel operatör.

$\underline{\underline{g}}^+$  :  $g^+$  vektörlerinden oluşan bir uzay üzerinde iş gören matrisyel operatör.

## **SONLU ELEMANLAR YÖNTEMİ İLE EK AKI HESABI** **ÖZET**

Sonlu elemanlar yöntemi matematiksel fizikteki kısmi diferansiyel denklemlerin çözümünde etkili bir yöntemdir. Bu yöntem ısı transferi, akışkan mekaniği ve radyasyon iletimi hesaplamalarında kullanılmıştır. Diferansiyel denklem kendine ek olduğunda sonlu elemanlar yöntemi bu denklemenin direkt çözümü yerine fonksiyonelinin minimumunu veren fonksiyonun aranmasını temel almaktadır. Bu yöntem, sonlu elemanlar yönteminin temel aldığı yegane yöntem değildir. Ağırlaştırılmış kalıntılar tekniği kullanılarak, Galerkin türü bir sonlu elemanlar formülasyonu oluşturulabilir. İkinci yaklaşım, fonksiyoneli ortadan kaldırmaktadır. Sonlu elemanlar yöntemi kendine ek özelliği olmayan kısmi diferansiyel denklemlerin çözümünde kullanılmıştır. Sonlu elemanlar yöntemi fizik ve mühendisliğin değişik alanlarında karşımıza çıkan kısmi diferansiyel denklemlerin çözümünde kullanılmıştır. Gerilme analizi, ısı transferi, akışkanlar mekaniği, nötron difüzyonu ve transportu yukarıda bahsedilen alanlardan bazıları için örnek teşkil edebilir. Diferansiyel denklem kendine ek olduğunda, sonlu elemanlar yönteminin uygulanması sonucu ortaya çıkan lineer sistemdeki katsayılar matrisi simetrik ve pozitif kesin bir yapı arzeder. Ortaya çıkan lineer sistem direkt veya iteratif yöntemlerle çözülebilir. Yüksek dereceli polinomsal temel fonksiyonların sonlu elemanlar yönteminde kullanılabilir olması, daha yüksek yakınsama derecelerinin elde edilebilir olmasını sağlamaktadır ve sayısal çözümler çoğu zaman bir çok durumda alternatif yöntemlere nazaran daha üstündür. (Ör. Sonlu farklar yöntemi). İzoparametrik sonlu eleman olgusu, eğrisel kenarların söz konusu olmasını ve sonlu elemanlar yöntemi kullanılması ile de geometrik karmaşıklığın engel teşkil etmesini sona erdirmiştir.

Sonlu eleman olgusunun nötron difüzyon ve transportu çözümlerinde kullanılması 1970'lere uzanmaktadır. Nötron transport ve difüzyon denklemlerinde hem varyasyonel çözümler hem de Galerkin türü sonlu elemanlar formülasyonu kullanılmıştır. Sonlu elemanlar yöntemi ile etkin çoğaltma katsayısı ve akı dağılımlarını hesaplamak ve belirlemek etkin bir biçimde başarılılmıştır. Sonlu eleman yöntemi detaylı akı dağılımlarının hem düzenli hem düzensiz geometrilerde hesaplayabilen etkin ve değerli bir yöntem olduğunu ispatlamıştır. Nötron difüzyon hesaplamaları sadece akı dağılımlarının hesaplanması için değil aynı zamanda ek akı dağılımlarının hesaplamaları için de yürütülmektedir. Fakat sonlu eleman nötron difüzyon formülasyonlarının büyük bir kısmı nötron akı dağılımlarına yönelmiştir ve ek akı hesaplama özellikleri genelde geliştirilmemiştir.

Bu çalışmada çok gruplu nötron difüzyon teorisi çerçevesinde çalışılması tercih edilmiş ve hem akı hem de ek akı hesabı yapabilen, etkin çoğaltma katsayısını hesaplayan bir sonlu elemanlar programı geliştirilmiştir.

Sıfır akı boşluk sınır koşulu altında klasik varyasyonel yöntemlerden hareket edilemeyeceği üzere ağırlaştırılmış kalıntılar ilkesine dayanan sıfır akı ve ek akı sınır koşullarını sağlayan Galerkin türü sonlu eleman formülasyonu tercih edilmiştir. Bu sınır koşullarının kullanılması akı ve ek akının perturbasyon teorisi hesaplamalarında belirlenebilmesi için gereklidir.

Reaktör teorisindeki ilk araştırmacıların çoğunun nükleer fizik alt yapısına sahip olmaları yaygın olarak kullandıkları bazı yöntemleri reaktör fiziğine taşımalarına sebep olmuştur. Bu yöntemlerden en yaygın olanı perturbasyon teorisidir. Perturbasyon teorisi nötron transport veya difüzyonuna uygulandığında ek akı ek difüzyon ve transport denklemlerinin öz-fonksiyonu olarak gözükmektedir. Bu söylemde ek akı matematiksel bir soyut kavram olarak gözükmektedir. Fakat ek akı üzerine yapılan daha sonraki çalışmalar göstermiştir ki ek akının nötron önemi olarak tanımlanabilecek bir fiziksel yorumu vardır. Bu ek akının nötronun kinetik enerjisini nükleer sisteme deki reaktivite ile ilişkisini gösterdiğini belirtmektedir. Ek akının yüksek olduğu yerlerin reaktiviteye etkileri daha çoktur. Bu da reaktör analizlerinde ek akı hesabının önemini ortaya koymaktadır.

Bu çalışmada çok gruplu difüzyon teorisinde kritikalite ve öz-değer hesaplamaları yapabilen bir program geliştirilmiştir. Geometri tek boyutlu silindirsel geometri ile sınırlanmış ve Galerkin türü sonlu eleman yöntemi programın teorik temelini teşkil etmektedir. Lagrange türü dördüncü dereceye kadar polinomlar formülasyon ve programda kullanılmıştır. İsmi 75\_YIL olan program (Bu isim programa Türkiye Cumhuriyeti 'nin 75. kuruluş yılı anısına verilmiştir.) FORTRAN dilinde yazılmış ve LINUX işletim sisteminde derlenmiş ve koşulmuştur. Bu tezin oluşturulmasında gösterilen çalışmaların başlangıcı bu program için olmuştur. Bu amaçla analitik çözümleri bilinen problemler koşulmuştur. Sayısal ve analitik çalışmaların sonuçlarının birbirinden ayrılmadığı görülmüştür. Analitik çözümü bu problemler tezin değerlendirme kısmını oluşturmaktadır.

Bu tezin amacı çok gruplu nötron difüzyon denklemlerini çözebilen, ek akı dağılımı yanında etkin çoğaltma katsayısı ve nötron akı dağılımlarını da belirleyebilen bir sonlu eleman programı geliştirmek olmuştur. Bu amacın başarılılığı koşulan örnek problemlerden de görülmüştür. 75\_YIL programı akı ve ek akı dağılımlarını belirleyebilmekte ve gelecekteki perturbasyon teorisi uygulamaları için uygun bir temel teşkil etmektedir.

## **ADJOINT FLUX CALCULATION BY USING FINITE ELEMENT METHOD**

### **SUMMARY**

The finite element method is an efficient numerical technique for the solution of partial differential equations of mathematical physics. The method has been used in various disciplines including heat transfer, fluid mechanics, stress analysis and radiation transport. When the governing differential equation is self-adjoint, the finite element method is based on the minimization of a certain functional, instead of the direct solution of the differential equation. But the functional method is not the only technique on which the finite element formulation could be based.

Weighted - residual techniques could also be utilised and a Galerkin type finite element development could be constructed. The latter approach enables the utilization of the element method in solution of partial differential equations which lack self-adjointness. The finite element method have been used in solution of partial differential equations which lack self-adjointness. The finite element method has been used in solution of partial differential equations in various areas of physics and engineering. Stress analysis, heat transfer, fluid mechanics, radiation transport are some of the branches that could be cited in that context. When the governing differential equation is self-adjoint, the coefficient matrix resulting from finite element discretization is positive-definite and possesses a symmetric - banded structure.

Consequently, the resulting linear systems could be solved most efficiently by direct or iterative methods. Since high-order polynomical basis functions could be used in finite element method, higher convergence rates could be obtained and numerical solutions are in most cases superior to competing alternative methods (i.e. finite differences). Isoparametric finite element concept makes domains with curved boundaries amenable to finite element solution ; geometric complexity ceases to be an obstacle with finite elements.

The use of finite-element concepts in the solution of neutron diffusion and transport theories dates back to 1970 's. Both variational and Galerkin-type finite element formulations have been used in the solution of neutron transport and diffusion problems. Determination of effective multiplication factor and flux distributions are accomplished by such finite element calculations in an efficient manner.

Finite element method has proved itself to be valuable in calculation of the detailed flux distributions in both regular and irregular geometries. Neutron diffusion calculations are not carried for only evaluation of the flux distributions; in many cases adjoint flux distributions are also needed. But an overwhelming majority of finite-element neutron diffusion formulations is directed towards the calculation of neutron flux distribution and adjoint flux calculation ability is usually not developed.

In this work, working under the formalism of multigroup-diffusion theory is preferred and it is tried to develop a finite element program which has the capability of obtaining both flux and adjoint - flux distributions.

Since the classical variational formulation is restricted to the zero-incoming current vacuum boundary conditions it is opted to develop a Galerkin type finite element formulation based on the weighted residual principle which incorporates zero flux and adjoint flux boundary condition at vacuum boundaries.

The use of those boundary conditions is required in the determination of the flux and the adjoint flux in perturbation theory calculations.

Since most of the first researchers in reactor theory had a nuclear physics background, they carried out some of the prevalent methods there to the area of reactor - physics. The perturbation theory is a prominent example among these. When perturbation theory is applied to neutron transport or diffusion, adjoint flux first appears as the eigenfunction of the adjoint diffusion or transport equation.

In this context, adjoint flux appears to be a mathematical abstraction. But later studies about the adjoint flux showed that adjoint flux has a physical interpretation as neutron importance. That is adjoint flux shows the importance of a certain position and neutron kinetic energy in relation to reactivity worth of the nuclear system.

Points where adjoint flux are large have a more important effect on reactivity. Due to these and other reasons, adjoint flux calculation is a necessary part of reactor analysis.

In this work, a program which can carry out criticality - eigenvalue calculations in multigroup diffusion theory is developed. The geometry is restricted to one dimensional cylindrical geometry and Galerkin type finite element method constitutes the theoretical basis of the program. Lagrange-type interpolatory polynomials up to degree four have been used in the formulation and have been implemented in the program.

The program which has been named 75\_YIL (which means seventy fifth year, commemorating 1998, the seventyfifth anniversary of the foundation of the Republic of Turkey) has been written in FORTRAN and is compiled and run in LINUX operating system. Initial efforts in construction of this thesis have been directed to the validation of the program.

For this purpose, problems with known analytical solutions had been run. The analytical and numerical flux distributions turn out also to be indistinguishable. These problems with analytical solutions constitute the validation part of this work.

The objective of this thesis have been to develop a finite element program, which has the ability to solve the multigroup neutron diffusion equations and obtain the adjoint flux distribution besides the effective multiplication factor and the neutron flux.

This objective has been accomplished, as the cited example problems show. The program, 75\_YIL is capable of evaluating both flux and adjoint flux distributions and constitutes a suitable basis for future perturbation theory applications.



## I. GİRİŞ

Nükleer fizikçilerin, reaktör fiziğine ilgi duymaya başlaması ile beraber, kuantum mekaniğinde öteden beri kullanılan perturbasyon teorisi, reaktör fiziği problemlerinde de uygulanmaya başlandı. Bu gelişme de reaktör fiziğinde ek operatörlerin tanımlanması sürecini başlattı.

Nötron transportunun en basit modeli olan tek gruplu difüzyon teorisinde yer alan operatörler kendine-ek niteliği taşıdığından, bu modele dayanan perturbasyon teorisi ifadelerinde akıdan başka yeni bir fonksiyon tanımlanmasına gerek yoktur. Ancak, nükleer reaktörlerin analizinde - genelde - tek gruplu teori yeterli olmamakta ve çok gruplu difüzyon teorisi modellerine ihtiyaç duyulmaktadır. Çok gruplu difüzyon teorisinde yer alan matrisel operatörler kendine ek değildir. Bu nedenle ortaya ek operatörler çıkmaktadır. Ek operatörlerin öz fonksiyonları da farklı olduğundan, perturbasyon teorisinin çok gruplu difüzyon modeline genişletilmesi, akıdan farklı olan ve '*ek akı*' [5] adı verilen bir kavramın ortaya çıkmasına sebep olmuştur.

Ek akıya salt matematiksel bir araç olarak bakılırsa, pek çok kullanım sahası ortaya çıkar. Perturbasyon teorisi kullanılarak, reaktivite değişimlerinin hesabı bunlardan biri, hatta en yaygın olanıdır. Ancak ek akının başka kullanım sahaları da vardır. Reaktör hesaplarında kullanılan bazı varyasyonel ilkeler de ek akı kavramını gerektirirler. Çok gruplu sabitlerin tanımında da, ek akı kullanılabilirliktedir. Reaktör yetkinlik hesaplarında kullanılan difüzyon sentetik hızlandırması da [7] yine ek akıya gereksinim duyan uygulamalardandır. Nötron transportunun probabilistik çözüm yöntemlerinden biri olan ‘Monte Carlo’ [13] da bazı uygulamalar ek akı kavramını gerektirir.

Belirtilmelidir ki bilimde ortaya çıkan matematiksel kavramların, fiziksel yorumunun yapılması, genellikle bu kavramların daha iyi anlaşılmasına yol açmakta ve bu kavramların yeni uygulama sahaları bulmasını sağlamaktadır. Salt matematiksel bir kavram olarak ortaya çıkan ek akı için de böyle bir süreç yaşanmıştır.

Ek akının fiziksel yorumu üzerine yapılan çalışmalar, ek akının kritik fakat nötron içermeyen bir reaktörde bir noktaya yerleştirilen belirli bir kinetik enerjiye sahip bir nötronun yol açtığı reaktördeki asimptotik toplam nötron sayısını simgeliştirdiğini göstermiştir [6]. Bu fiziksel yorum doğrultusunda, tipki aki dağılımlarında olduğu gibi, ek aki dağılımları da nükleer sistemin nötroniğinin daha iyi anlaşılmasına neden olmaktadır.

Bu çalışmada çok gruplu difüzyon teorisi çerçevesinde ek yetkinlik özdeğer probleminin sayısal olarak çözülmesi ve etkin çoğaltma katsayısı ile grup ek aki dağılımlarının hesaplanması amaçlanmıştır. Sistem geometrisi, sonsuz silindirsel geometri olarak kısıtlanmış, grup içi difüzyon denklemlerinin çözümü için sonlu elemanlar yönteminin kullanılması tercih edilmiştir. Difüzyon denkleminin sonlu elemanlar yöntemiyle çözümünde, çoğu araştırmada fonksiyonel minimizasyonuna dayanan *Ritz* [8] yaklaşımı kullanılmaktadır. Galerkin türü sonlu elemanlar formülasyonunda ise fonksiyonel kavramı ortadan kalkmaktadır. Halbuki perturbasyon teorisi uygulamalarında genellikle hem akının, hem de ek akının sistem sınırlarında sıfır alınmasına dayanan boşluk sınır koşulunun uygulanması uygun düşmektedir. [5].

Bu sebeple, bu çalışmada varyasyonel ilkeden hareket etmeyen, ağırlaştırılmış kalıntılar fikrine dayanan, *Galerkin* türü bir sonlu elemanlar formülasyonuna gidilmiştir. Daha önce geliştirilmiş varyasyonel ilkeden hareketle sonlu elemanlar yöntemini kullanarak aki hesabı yapan bir program [4] değiştirilerek Galerkin türü sonlu elemanlar formülasyonuna dayalı sıfır değerine sahip aki ve ek aki sınır koşulunu kullanan, hem aki hem de ek aki hesabı yapabilen bir programa dönüştürülmüştür. Bu program kullanılarak tek ve iki gruplu teori çerçevesinde, önce çıplak sonra da yansıtıcı reaktörlerin etkin çoğaltma katsayıları ile hızlı ve termal aki ve ek akıları hesaplanmıştır. Bu problemlerin aynı zamanda analitik çözümleri elde edilmiş, sayısal çözümlerle analitik çözümler karşılaştırılarak, geliştirilen programın doğrulanması gerçekleştirilmiştir. Geliştirilen program kullanılarak İTÜ TRIGA Mark II reaktörünün ek aki hesabı da gerçekleştirılmıştır. WIMS [1] programı aracılığı ile elde edilen iki gruplu TRIGA tesir kesitleri [10] kullanılarak, yapılan hesaplamalarla aki ve ek aki dağılımları saptanmış, bu sonuçlar ayrıca sonlu fark yöntemi kullanan bir programın sonuçları ile de karşılaştırılmıştır.

Tezin ikinci bölümü "*Teori*" adını taşımakta, burada önce ek akı kavramı tanıtmakta, daha sonra grup içi difüzyon denkleminin sonlu elemanlar yöntemi ile çözümü için Galerkin türü bir sonlu elemanlar formülasyonu sunulmaktadır.

Tezin üçüncü bölümü "*Uygulamalar*" adını taşımakta ve burada yapılan hesaplamalarla elde edilen sonuçlar irdelenmektedir.

Tezin dördüncü bölümü "*Sonuçlar ve Öneriler*" adını taşımakta, burada da yapılan çalışmanın genel değerlendirmesi yapıldıktan sonra, bu konuda gelecekte yapılabilecek uygulamalar için önerilerde bulunulmaktadır.

## II. TEORİ

### II.1. EK AKI KAVRAMI

#### II.1.1. Çok Gruplu Difüzyon Teorisi Yetkinlik Hesapları

Cok gruplu difüzyon teorisi çerçevesinde yetkinlik - özdeğer problemi :

$$\underline{M} \cdot \underline{\emptyset} = 1 / k_{\text{etk}} \quad \underline{F} \cdot \underline{\emptyset} \quad (2.1)$$

olarak ifade edilebilir. Burada ; gruptan gruba yukarı saçılmanın olmadığı varsayılarak;

$$\underline{M} = \begin{bmatrix} -\vec{\nabla} \cdot D_1 \vec{\nabla} + \Sigma_{r,1} \\ -\Sigma_{s,2 \leftarrow 1} \quad -\vec{\nabla} \cdot D_2 \vec{\nabla} + \Sigma_{r,2} \\ \vdots \quad \vdots \\ -\Sigma_{s,g \leftarrow i} \quad -\Sigma_{s,g \leftarrow 2} \dots \dots \quad -\vec{\nabla} \cdot D_g \vec{\nabla} + \Sigma_{r,g} \\ \vdots \quad \vdots \quad \vdots \\ -\Sigma_{s,G \leftarrow 1} \quad -\Sigma_{s,G \leftarrow 2} \dots \dots \quad -\Sigma_{s,G \leftarrow g} \quad \dots \quad -\vec{\nabla} \cdot D_G \vec{\nabla} + \Sigma_{r,G} \end{bmatrix} \quad (2.2)$$

şeklinde,

$$\underline{F} = \begin{bmatrix} \chi_1 v_1 \Sigma_{f,1} \dots \dots \chi_1 v_g \Sigma_{f,g} \dots \dots \chi_1 v_G \Sigma_{f,G} \\ \vdots \quad \vdots \quad \vdots \\ \chi_g v_1 \Sigma_{f,1} \dots \dots \chi_g v_g \Sigma_{f,g} \dots \dots \chi_g v_G \Sigma_{f,G} \\ \vdots \quad \vdots \quad \vdots \\ \chi_G v_1 \Sigma_{f,1} \dots \dots \chi_G v_g \Sigma_{f,g} \dots \dots \chi_G v_G \Sigma_{f,G} \end{bmatrix} \quad (2.3)$$

şeklinde  $G \times G$  'lik kare matrisyel operatörler olup,

$$\underline{\emptyset}^T = [\emptyset_1 \dots \emptyset_g \dots \emptyset_G] \quad (2.4)$$

aki vektördür.

Bir değiştirilmiş özdeğer - özfonksiyon problemini temsil eden (2.1) denkleminin en büyük özdeğeri olan  $k_{etk}$  ve buna tekabül eden aki vektörü, genelde fisyon kaynağı iterasyonu yöntemi ile belirlenir. Bu sürece **reaktör yetkinlik hesabı** adı verilir.

### II.1.2. Çok Gruplu Difüzyon Teorisinde Ek Operatörler

Genel bir  $\underline{\mathcal{L}}$  matrisyel operatörünün  $\underline{f}$  vektörlerinden oluşan bir uzay üzerinde iş gördüğünü varsayıyalım. Bu durumda  $\underline{g}^+$  vektörlerinden oluşan bir uzay üzerinde iş gören bir  $\underline{\mathcal{L}}^+$  operatörü her  $\underline{f}$  ve  $\underline{g}^+$  çifti için ;

$$\langle \underline{g}^+, \underline{\mathcal{L}} \cdot \underline{f} \rangle = \langle \underline{f}, \underline{\mathcal{L}}^+ \cdot \underline{g}^+ \rangle \quad (2.5)$$

denklemini sağlıyorsa,  $\underline{\mathcal{L}}^+$  'ya  $\underline{\mathcal{L}}$  'nin **ek operatörü** adı verilir. (2.5)'de yer alan " $\langle \cdot, \cdot \rangle$ " işlemi **uç çarpım** işlemini temsile etmekte olup  $\underline{f}$  ve  $\underline{g}^+$  vektörlerinin bağımsız değişkenlerinin tümü üzerinden integrasyon anlamına taşırılar, yani ;

$$\langle \underline{g}^{+T}, \underline{\mathcal{L}} \cdot \underline{f} \rangle = \int_V \underline{g}^{+T} \underline{\mathcal{L}} \cdot \underline{f} dV \quad (2.6)$$

tanımı geçerlidir. Burada  $V$ ,  $\underline{f}$  ve  $\underline{g}^+$  vektörlerini oluşturan fonksiyonların tanım bölgesidir. Çok gruplu difüzyon teorisi yetkinlik hesaplarında yer alan  $\underline{M}$  ve  $\underline{F}$  matrisyel operatörlerin ek operatörleri bu matrisyel operatörlerin devrikleridir.

Yani ;

$$\underline{M}^+ = \begin{bmatrix} -\vec{\nabla} \cdot D_1 \vec{\nabla} + \sum r_{,1} & -\sum s_{,2 \leftarrow 1} & -\sum s_{,g \leftarrow 1} & -\sum s_{,G \leftarrow 1} \\ -\vec{\nabla} \cdot D_2 \vec{\nabla} + \sum r_{,2} & -\sum s_{,g \leftarrow 2} & -\sum s_{,G \leftarrow 2} & \vdots \\ \vdots & \vdots & \vdots & \vdots \\ -\vec{\nabla} \cdot D_g \vec{\nabla} + \sum r_{,g} & -\sum s_{,G \leftarrow g} & \ddots & \vdots \\ \vdots & \vdots & \vdots & \vdots \\ -\vec{\nabla} \cdot D_G \vec{\nabla} + \sum r_{,G} & \ddots & \ddots & \ddots \end{bmatrix} \quad (2.7)$$

ve ;

$$\mathbf{F}^+ = \begin{bmatrix} \chi_1 v_1 \Sigma_{f,1} & \dots & \chi_g v_1 \Sigma_{f,1} & \dots & \chi_G v_1 \Sigma_{f,1} \\ \vdots & & \vdots & & \vdots \\ \chi_1 v_g \Sigma_{f,g} & \dots & \chi_g v_g \Sigma_{f,g} & \dots & \chi_G v_g \Sigma_{f,g} \\ \vdots & & \vdots & & \vdots \\ \chi_1 v_G \Sigma_{f,G} & \dots & \chi_g v_G \Sigma_{f,G} & \dots & \chi_G v_G \Sigma_{f,G} \end{bmatrix} \quad (2.8)$$

şeklindedirler [6].

$$M^+ \cdot \underline{\emptyset}^+ = 1 / k_{etk} \quad F^+ \cdot \underline{\emptyset}^+ \quad (2.9)$$

şeklinde tanımlanan probleme ek-yetkinlik özdeğer problemi adı verilmekte ve  $\underline{\emptyset}^+$  vektörü ;

$$\underline{\emptyset}^+ = [\emptyset_1^+ \dots \emptyset_g^+ \dots \emptyset_G^+] \quad (2.10)$$

$\emptyset_g^+$  ile simgelendirilen grup ek akılarından oluşmaktadır. (2.1) ve (2.9) denklemlerindeki operatörler ek-operatör olduğundan, özdeğer her ikisinde de aynı olup  $k_{etk}$ 'dir [5].

Buna göre bir nükleer sistemin  $k_{etk}$ 'nini bulmak için (2.1) yetkinlik-özdeğer problemi yerine (2.9) ek - yetkinlik - özdeğer problemi çözülebilir. (2.9)'a fision kaynağı iterasyonu uygulanarak, en büyük özdeğeri  $k_{etk}$  yanında sistemin grup ek akıları da hesaplanabilir.

### II.1.3. Çok Gruplu Perturbasyon Teorisi Yaklaşımı

Bir sonraki bölümde, daha önce matematiksel olarak tanımlanan ek akıya fiziksel bir yorum getirilmeye çalışılacaktır. Bu amaçla önce bu bölümde çok gruplu perturbasyon teorisi genel ifadesi türetilerek ek akı yorumu için gerekli temel sağlanacaktır. Bir nükleer sistemin yetkinlik - özdeğer durumunun (2.1) ve (2.9) denklemleriyle belirlendiğini varsayılmı. Yani  $k'_{\text{etk}}$ ,  $\emptyset$  ve  $\emptyset^+$  bize bilinmektedir diyelim. Şimdi bu sistemde yapılan küçük bir değişim nedeni ile, çok gruplu difüzyon teorisi operatörlerinde bir değişim vizedelim. Bu durumda :

$$\begin{array}{l} M' \cdot \emptyset' = 1 / k'_{\text{etk}} F' \cdot \emptyset' \\ = - = - \end{array} \quad (2.11)$$

olarak sistemin yeni etkin çoğaltma katsayısı  $k'_{\text{etk}}$  ve yeni akısı  $\emptyset'$  olacaktır.  
Operatörler :

$$\begin{array}{l} M' = M + \delta M \\ = = = \end{array} \quad (2.12)$$

$$\begin{array}{l} F' = F + \delta F \\ = = = \end{array} \quad (2.13)$$

şeklinde değişikleri için, etkin çoğaltma katsayısı ve akı da ;

$$k'_{\text{etk}} = K_{\text{etk}} + \delta k_{\text{etk}} \quad (2.14)$$

$$\begin{array}{l} \emptyset' = \emptyset + \delta \emptyset \\ - - - \end{array} \quad (2.15)$$

birimde değişim göstermişlerdir. (2.12) - (2.15) denklemleri (2.1) içine yerleştiriliirlerse ;

$$\begin{array}{l} (M + \delta M) \cdot (\emptyset + \delta \emptyset) = \frac{1}{K_{\text{etk}} + \delta k_{\text{etk}}} * (F + \delta F) \cdot (\emptyset + \delta \emptyset) \\ = = - - = = - - \end{array} \quad (2.16)$$

yazılabilir.

Öte yandan [7];

$$\frac{1}{k_{\text{etk}} + \delta k_{\text{etk}}} = \frac{1}{k_{\text{etk}}} * \frac{1}{1 - (-\delta k_{\text{etk}} / k_{\text{etk}})} \quad (2.17)$$

şeklinde yazılabilir. Sistemde yapılan değişimin küçük olduğu varsayıduğuna göre  $\delta k_{\text{etk}}$  'e göre küçük olacaktır. Buna göre Taylor serisindeki üçüncü ve daha sonraki terimler ihmal edilerek :

$$\frac{1}{1 - (-\delta k_{\text{etk}} / k_{\text{etk}})} \approx 1 - \delta k_{\text{etk}} / k_{\text{etk}} \quad (2.18)$$

yazılabilir. Buna göre ;

$$\frac{1}{k_{\text{etk}} + \delta k_{\text{etk}}} \approx \frac{1}{k_{\text{etk}}} - \frac{\delta k_{\text{etk}}}{k_{\text{etk}}^2} \quad (2.19)$$

ifadesini yazabilirmiz. Öte yandan reaktivite tanımına göre ;

$$\rho = \frac{k_{\text{etk}} - 1}{k_{\text{etk}}} \quad (2.20)$$

olur. Bu denklemde her iki tarafın diferansiyeli alınırsa ;

$$d\rho = \frac{dk_{\text{etk}}}{k_{\text{etk}}^2} \quad (2.21)$$

sonucu bulunur. Sistemdeki değişimin küçük olduğu göz önüne alınarak, diferansiyel değişim durumundaki sonuç burada da kullanılırısa ;

$$\frac{1}{k_{\text{etk}} + \delta k_{\text{etk}}} \approx \frac{1}{k_{\text{etk}}} - \delta \rho \quad (2.22)$$

yazılabilir. Burada ;

$$\delta \rho = \frac{\delta k_{\text{etk}}}{k_{\text{etk}}^2} \quad (2.23)$$

olarak tanımlanmıştır. (2.22) ifadesi, (2.16)'da yerleştirilerek ;

$$(M + \delta M) \cdot (\emptyset + \delta \emptyset) = \left( \frac{1}{k_{\text{etk}}} - \delta \rho \right) * (F + \delta F) \cdot (\emptyset + \delta \emptyset) \quad (2.24)$$

elde edilir. (2.24) yeniden düzenlenir ve  $\delta^2$  terimleri ihmal edilirse ;

$$-\delta \rho \underline{F} \underline{\emptyset} \cong (M - 1/k_{\text{etk}} \underline{F}) \underline{\emptyset} + (\delta M - 1/k_{\text{etk}} \delta \underline{F}) \underline{\emptyset} + (M - 1/k_{\text{etk}} \underline{F}) \delta \underline{\emptyset} \quad (2.25)$$

yazılabilir.

(2.25) ile gösterilmiş olunan ifadenin sağ tarafındaki ilk terim (2.1) numaralı eşitliğin tanımından sıfır eşittir. Buna göre ;

$$-\delta \rho F \emptyset \equiv (\delta M - 1/k_{\text{etk}} \delta F) \emptyset + (M - 1/k_{\text{etk}} F) \delta \emptyset \quad (2.26)$$

olur. (2.26) denklemi  $\emptyset^+$  ile çarpılıp, sistem hacmi üzerinden integre edilirse ;

$$-\delta \rho \langle \emptyset^+, F \emptyset \rangle \equiv \langle \emptyset^+, (\delta M - 1/k_{\text{etk}} \delta F) \emptyset \rangle + \langle \emptyset^+, (M - 1/k_{\text{etk}} F) \delta \emptyset \rangle \quad (2.27)$$

elde edilir. Öte yandan ek-operatör tanımına göre ;

$$\langle \emptyset^+, (M - 1/k_{\text{etk}} F) \delta \emptyset \rangle = \langle \delta \emptyset, (M^+ - 1/k_{\text{etk}} F^+) \emptyset^+ \rangle \quad (2.28)$$

olur. Öte yandan (2.9) denklemi nedeni ile (2.28) ifadesi sıfır eşittir. Buna göre (2.27) den ;

$$-\delta \rho \equiv \frac{\langle \emptyset^+, (\delta M - 1/k_{\text{etk}} \delta F) \emptyset \rangle}{\langle \emptyset^+, F \emptyset \rangle} \quad (2.29)$$

çok gruplu perturbasyon teorisi ifadesi bulunur. (2.26) ifadesi sadece ; özgün akı, ek akı, ketcik ve tesir kesitlerindeki değişimleri kullanarak, yeni bir ketcik hesabına girmeden reaktivitedeki değişimini yaklaşık veren bir denklemidir.

#### II.1.4. Noktasal Perturbasyon Kavramı ve Ek Akının Fiziksel Yorumu

Nükleer sistemin belirli bir noktası civarına küçük miktarda bir malzeme eklenerek sadece ginci gruba ait çıkartma tesir kesitinin ( $\Sigma_{r,g}$ ) değiştirildiğini varsayıyalım. Bu değişim Dirac Delta fonksiyonu kullanılarak :

$$\delta M = \begin{bmatrix} 0 & \dots & 0 & 0 & \dots & 0 & \dots & 0 \\ \vdots & & & & & & & \vdots \\ 0 & \dots & 0 & \Sigma_{r,g}^p V^p \delta(\vec{r} - \vec{r}_0) & \dots & 0 & \dots & 0 \\ \dots & & \dots & & \dots & \dots & & \dots \\ 0 & \dots & 0 & 0 & \dots & 0 & \dots & 0 \end{bmatrix} \quad (2.30)$$

şeklinde matematiksel olarak ifade edilebilir.

Burada  $\vec{r}_0$  perturbasyonun uygulandığı noktayı  $v^p$  perturbasyon hacmini,  $\Sigma_{r,g}^p$  ise perturbasyon grup-çıkartma tesir kesitini ifade etmektedir. Bu durumda perturbasyon (2.29) ifadesine göre ;

$$-\delta\rho \cong \frac{\int_V \mathcal{O}_g(\vec{r}) v^p \Sigma_{r,g}^p \delta(\vec{r} - \vec{r}_0) \mathcal{O}_g(\vec{v}) dV}{\langle \mathcal{O}, F \mathcal{O} \rangle} \quad (2.31)$$

olarak yazılabilir. Dirac Delta fonksiyonunun integrasyon özelliğinden ;

$$-\delta\rho \cong \frac{\mathcal{O}_g(\vec{r}_0) v^p \Sigma_{r,g}^p \mathcal{O}_g(\vec{r}_0)}{\langle \mathcal{O}, F \mathcal{O} \rangle} \quad (2.32)$$

elde edilir. Perturbasyondan bağımsız bir sabit olan (2.32) 'nin paydası  $C^{-1}$  ile gösterilirse ;

$$\mathcal{O}_g(\vec{r}_0) = \frac{-\delta\rho}{C v^p \Sigma_{r,g}^p \mathcal{O}_g(\vec{r}_0)} \quad (2.33)$$

yazılabilir. Burada ;

$$R_g^p(\vec{r}_0) = v^p \Sigma_{r,g}^p \mathcal{O}_g(\vec{r}_0) \quad (2.34)$$

eklenen malzemedede birim zamanda  $g$ inci gruptan çıkartılan nötron sayısıdır. C ise bir sabit olup, akının normalizasyonuna bağlıdır. Burada yapay olarak  $C = 1$  seçilsse ;

$$\mathcal{O}_g(\vec{r}_0) = \frac{-\delta\rho}{R_g(\vec{r}_0)} \quad (2.35)$$

olur. Diğer bir deyişle  $g$ inci grup ek akısı eklenen malzemedede birim zamanda gruptan çıkartılan  $g$ nci grubu nötronu başına reaktivitedeki değişimi vermektedir [6]. Kısacası ek akı büyükse, gruptan nötron çıkartılmasının reaktiviteye tesiri büyük, küçükse reaktiviteye tesiri küçüktür. Vurgulanmak istenen  $g$ inci grup ek akısının  $\vec{r}_0$  daki değeri  $\mathcal{O}_g(\vec{r}_0)$  o noktanın  $\vec{r}$  ve o grubun ( $g$ ) reaktiviteye tesirinin önemini ölçmekte olduğunu. Bu nedenle ek-akıya, **nötron önem fonksiyonu** da denir.

### II.1.5. Fisyon Kaynağı İterasyonunda Grup İçi Denklemler

Gerek (2.1) numaralı, gerekse (2.9) numaralı denklemlerle ifade edilmiş olan problemlerde k<sub>etk</sub> hesabı için fisyon kaynağı iterasyonu kullanılır. Fisyon kaynağı iterasyonu sırasında (n+1)inci iterasyonda, (2.1) ifadesinin çözümü için ;  
 $g = 1, \dots, G$  için sırasıyla :

$$-\vec{\nabla} \cdot Dg(\vec{r}) \vec{\nabla} \overset{(n+1)}{\phi}_g(\vec{r}) + \sum_{r,g} \overset{(n+1)}{\phi}_g(\vec{r}) = \sum_{g'=1}^G \sum_{s,g \leftarrow g'}^{(n+1)} \overset{(n+1)}{\phi}_g(\vec{r}) + f_g(\vec{r}) \quad (2.36)$$

denklemleri çözülmektedir. Burada grup fisyon kaynağı ;

$$f_g(\vec{r}) = \frac{\chi_g}{k^{(n)}} \sum_{g'=1}^{G-1} v \sum_{r,g} \overset{(n)}{\phi}_{g'}(\vec{r}) \overset{(n)}{\phi}_g(\vec{r}) \quad (2.37)$$

şeklindedir. (2.9) numaralı denklemin çözümü için yapılan fisyon kaynağı iterasyonunda (n+1)inci iterasyonda  $g = G, G-1, \dots, 2, 1$  için sırasıyla ;

$$-\vec{\nabla} \cdot Dg(\vec{r}) \vec{\nabla} \overset{(n+1)}{\phi}_g(\vec{r}) + \sum_{r,g} \overset{(n+1)}{\phi}_g(\vec{r}) = \sum_{g=G+1}^G \sum_{s,g \leftarrow g}^{(n+1)} \overset{(n+1)}{\phi}_g(\vec{r}) + f_g^+(\vec{r}) \quad (2.38)$$

denklemleri çözülmektedir. Burada grup ek-fisyon kaynağı ;

$$f_g^+(\vec{r}) = \frac{v \sum_{r,g} \overset{(n)}{\phi}_g(\vec{r})}{k^{(n)}} \sum_{g=1}^G \chi_g \overset{(n)}{\phi}_g(\vec{r}) \quad (2.39)$$

şeklindedir. Ancak gerek (2.36) numaralı, gerekse (2.38) numaralı denklemlerin (grup içi denklemler), sağ tarafı çözüm aşamasında bilinir haldedir. Diğer bir deyişle her iki denklem de formal olarak ;

$$-\vec{\nabla} \cdot D \vec{\nabla} \phi(\vec{r}) + \sum \phi(\vec{r}) = q(\vec{r}) \quad (2.40)$$

birimde yazılabilir ki bu da tek-gruplu serbest-kaynaklı difüzyon denklemi formudur.

(2.36) numaralı ifadenin çözümü için ;

$$\begin{aligned} \phi(\vec{r}) &= \overset{(n+1)}{\phi}_g(\vec{r}) \\ q(\vec{r}) &= f_g(\vec{r}) + \sum_{g=1}^{G-1} \sum_{s,g \leftarrow g}^{(n+1)} \overset{(n+1)}{\phi}_g(\vec{r}) \end{aligned} \quad (2.41)$$

(2.40) numaralı ifadenin çözümü için ise ;

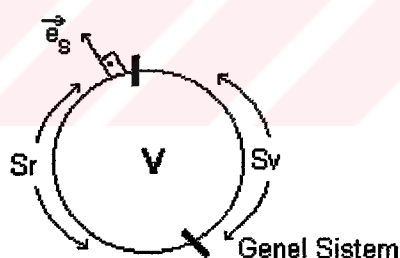
$$\begin{aligned}\emptyset(\vec{r}) &= \sum_{g=1}^{(n+1)} \emptyset_g^+(\vec{r}) \\ q(\vec{r}) &= f_g^+(\vec{r}) + \sum_{g'=g+1}^G \sum_{s,g-s} \emptyset_g^+(\vec{r})\end{aligned}\quad (2.42)$$

alınır ve her iki durumda da indislerden kurtulmak için  $D = D_g$ ,  $\Sigma = \Sigma_{s,g}$  kullanılrsa, (2.40) numaralı denklem ile ifade edilmiş olunan basit forma indirgeme yapılır. Gerek akı, gerekse ek akı hesabında grup içi denklem (2.40) formunda olduğuna göre, bundan sonraki bölümlerde (2.40) numaralı ifadenin çözümü tartışılmaktadır. Bu çalışmada (2.40) numaralı ifadenin çözümü için geometri sonsuz silindirik olarak sınırlanılacak ve denklem sonlu elemanlar yöntemi ile çözülecektir. Sonlu elemanlar yönteminin uygulanması bir sonraki bölümün konusudur.

## II.2. SONLU ELEMANLAR YÖNTEMİ

### II.2.1. Ağırlaştırılmış Kalıntılar İlkesi

Cözümünü amaçladığımız sınır değer problemi; sistem hacmi  $V$  olarak simgeleştirilip:



**Şekil 2.1**

$$-\vec{\nabla} \cdot D(\vec{r}) \vec{\nabla} \emptyset(\vec{r}) + \sum \emptyset(\vec{r}) = q(\vec{r}) \quad , \quad \vec{r} \in V \quad (2.43)$$

$$\emptyset(\vec{r}) = 0 \quad , \quad \vec{r} \in S_v \quad (2.44)$$

$$\frac{\partial \emptyset(\vec{r})}{\partial n} = 0 \quad , \quad \vec{r} \in S_r \quad (2.45)$$

olarak ifade edilebilir. Sistem dış yüzeyi  $S$  'nin  $S_v$  ile gösterilen bölümünde sıfır akı sınır koşulu,  $S_r$  ile gösterilen bölümünde ise sıfır normal akım yansıtma sınır koşulu vizedilmiştir.

(2.43) denklemi  $R(\vec{r})$  kalıntı tanımiyla :

$$R(\vec{r}) = -\vec{\nabla} \cdot D(\vec{r}) \vec{\nabla} \varnothing(\vec{r}) + \sum q(\vec{r}) - q(\vec{r}) = 0 \quad , \quad \vec{r} \in V \quad (2.46)$$

olarak da ifade edilebilir. Kalıntı fonksiyonu  $R(\vec{r})$ , herhangi bir test fonksiyonu  $\psi(\vec{r})$  ile çarpılıp, sistem hacmi üzerinden integre edilirse, bu integralin de sıfır olması gereklidir :

$$\int_V [-\vec{\nabla} \cdot D(\vec{r}) \vec{\nabla} \varnothing(\vec{r}) + \sum q(\vec{r})] \psi(\vec{r}) dV = 0 \quad (2.47)$$

Öte yandan ; genelleştirilmiş kısmi integrasyon kuralı ;

$$\vec{\nabla} \cdot [D(\vec{r}) \vec{\nabla} \varnothing(\vec{r})] = D(\vec{r}) \vec{\nabla} \varnothing(\vec{r}) \cdot \vec{\nabla} \psi(\vec{r}) + \psi(\vec{r}) \vec{\nabla} \cdot D(\vec{r}) \vec{\nabla} \varnothing(\vec{r}) \quad (2.48)$$

' na göre ;

$$\psi(\vec{r}) \vec{\nabla} \cdot D(\vec{r}) \vec{\nabla} \varnothing(\vec{r}) = \vec{\nabla} \cdot [\psi(\vec{r}) D(\vec{r}) \vec{\nabla} \varnothing(\vec{r})] - D(\vec{r}) \vec{\nabla} \varnothing(\vec{r}) \vec{\nabla} \psi(\vec{r}) \quad (2.49)$$

yazılabilir. Bu sonuç (2.47) numaralı ifadede yerleştirilirse :

$$\int_V [D(\vec{r}) \vec{\nabla} \varnothing(\vec{r}) \cdot \vec{\nabla} \psi(\vec{r}) + \sum q(\vec{r}) \psi(\vec{r}) - q(\vec{r}) \psi(\vec{r})] dV - \int_V \vec{\nabla} \cdot [\psi(\vec{r}) D(\vec{r}) \vec{\nabla} \varnothing(\vec{r})] dV = 0 \quad (2.50)$$

elde edilir. Öte yandan, Gauss teoremine göre :

$$\int_V \vec{\nabla} \cdot [\psi(\vec{r}) D(\vec{r}) \vec{\nabla} \varnothing(\vec{r})] dV = \int_S \psi(\vec{r}) D(\vec{r}) \frac{\partial \varnothing(\vec{r})}{\partial n} d\vec{S} \quad (2.51)$$

olur. Öte yandan ;  $S = S_r \cup S_v$  olduğuna göre ;

$$\int_S \psi(\vec{r}) D(\vec{r}) \frac{\partial \varnothing(\vec{r})}{\partial n} d\vec{S} = \int_{S_r} \psi(\vec{r}) D(\vec{r}) \frac{\partial \varnothing(\vec{r})}{\partial n} d\vec{S} + \int_{S_v} \psi(\vec{r}) D(\vec{r}) \frac{\partial \varnothing(\vec{r})}{\partial n} d\vec{S} \quad (2.52)$$

yazılabilir. Fakat (2.45) numaralı ifade ile belirlenmiş olunan yansıtma sınır koşulu nedeni ile sağ taraftaki ilk terim sıfır eşittir. Eğer kabul edilebilir test fonksiyonları  $\psi(\vec{r})$  ;

$$\psi(\vec{r}) = 0 \quad , \quad \vec{r} \in S_v \quad (2.53)$$

şeklinde seçilirse, (2.52) ile ifade edilmiş olunan denklemin sağ tarafındaki ikinci terim de sıfır olur. Buna göre (2.51) ifadesi ;

$$\int_V \vec{\nabla} \cdot [\psi(\vec{r}) D(\vec{r}) \vec{\nabla} \varnothing(\vec{r})] dV = 0 \quad (2.54)$$

haline dönüşür. Bu durumda şu ilkeyi ki - **ağırlaştırılmış kalıntılar ilkesi** adını veriyoruz - ortaya koyabiliriz.

(2.43) diferansiyel denklemini (2.44) ve (2.45) sınır koşullarıyla sağlayan  $\emptyset(\vec{r})$  fonksiyonu, her  $\Psi(\vec{r}) = 0$ ,  $\vec{r} \in S_v$  olacak şekilde seçilmiş  $\Psi(\vec{r})$  fonksiyonu için :

$$\int_V [D(\vec{r}) \nabla \emptyset(\vec{r}) \cdot \nabla \Psi(\vec{r}) + \Sigma(\vec{r}) \emptyset(\vec{r}) \Psi(\vec{r}) - q(\vec{r}) \Psi(\vec{r})] dV = 0 \quad (2.55)$$

denklemini de sağlar [2]. (2.55) denklemi genel geometri için türetilmiştir.

Ancak bu çalışmada sonsuz silindirsel geometride çalışacağımız için (2.55) basitleştirilebilir. Silindirik sistemin  $0 < r < R$  aralığında yer aldığı varsayılsrsa ; (2.55) ilkesi, sonsuz silindirik geometri özelinde:



**Şekil 2.2**

$$-\frac{1}{r} \frac{d}{dr} [r D(r) \frac{d\emptyset}{dr}] + \Sigma(r) \emptyset(r) = q(r) \quad (2.56)$$

diferansiyel denklemini :

$$\emptyset(R) = 0 \quad (2.57)$$

veya

$$\left. \frac{\partial \emptyset(r)}{\partial r} \right|_{r=R} = 0 \quad (2.58)$$

sınır koşuluyla sağlayan  $\emptyset(r)$  fonksiyonu aynı zamanda  $0 < r < R$  arasında tanımlı ve  $\Psi(R) = 0$  özelliği taşıyan her  $\Psi(r)$  test fonksiyonu için de :

$$\int_0^R [D(r) \frac{d\emptyset}{dr} \frac{d\Psi}{dr} + \Sigma(r) \emptyset(r) \Psi(r) - q(r) \Psi(r)] r dr = 0 \quad (2.59)$$

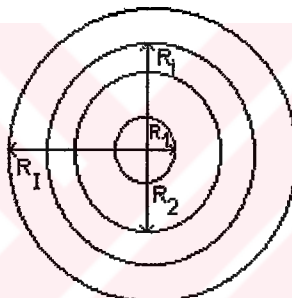
ağırlaştırılmış kalıntılar denklemini de sağlar.

## II.2.2. Sonsuz Silindirik Geometride Galerkin Türü Sonlu Elemanlar Yaklaşımı

(2.59) ifadesi için kabul edilebilir fonksiyonlar ;

$$\int_0^R \left( \frac{d\vartheta}{dr} \right)^2 r dr < \infty , \quad \int_0^R \left( \frac{d\Psi}{dr} \right)^2 r dr < \infty \quad (2.60)$$

özelliklerini taşıyan ve (2.53) numaralı ifadedeki koşula uyan fonksiyonlardır. Burada geometri karmaşık olduğu zaman, (2.59) numaralı ifadeden hareketle (2.56) numaralı ifadenin çözümünün analitik olarak elde edilebilmesi zorlaşır. Bu nedenle probleme yaklaşık bir çözüm aranacaktır. Bu amaçla silindirik sistemimizi I sayıda eşmerkezli dairesel kabuğa bölgüyoruz.



Şekil 2.3 Sistemin Sonlu Elemanlara Bölünmesi

Buradaki dairesel kabukların herbirinin homojen olması koşulunu getiriyoruz. Yani

$R_o = 0$  ve;

$$D(r) = D_i \quad \Sigma(r) = \Sigma_i , \quad R_{i-1} < r < R_i \quad (2.61)$$

olarak kısıtlıyoruz. Bu durumda (2.55) ifadesi :

$$\sum_{i=1}^I \int_{R_{i-1}}^{R_i} \left[ D_i \left( \frac{d\vartheta}{dr} \right) \left( \frac{d\Psi}{dr} \right) + \Sigma_i \vartheta(r) \Psi(r) - q(r) \Psi(r) \right] r dr = 0 \quad (2.62)$$

haline dönüşür. (2.62) numaralı denklem ile ifade edilmiş integral, eleman integrali ;

$$I_i = \int_{R_{i-1}}^{R_i} \left[ D_i \left( \frac{d\vartheta}{dr} \right) \left( \frac{d\Psi}{dr} \right) + \Sigma_i \vartheta(r) \Psi(r) - q(r) \Psi(r) \right] r dr \quad (2.63)$$

tanımlaması ile ;

$$\sum_{i=1}^I I_i = 0 \quad (2.64)$$

şeklinde yazılabilir.

$$r = R_{i-1} + \Delta_i \xi \quad (2.65)$$

$$\Delta_i = R_i - R_{i-1} \quad (2.66)$$

olarak bir değişken dönüşümü yapılrsa :

$$I_i = \int_0^1 \left[ \frac{D_i}{\Delta_i} (R_{i-1} + \Delta_i \xi) \left( \frac{\partial \emptyset}{\partial \xi} \right) \left( \frac{\partial \Psi}{\partial \xi} \right) + \sum_j \Delta_j (R_{j-1} + \Delta_j \xi) \emptyset(\xi) \Psi(\xi) \right. \\ \left. - \Delta_i \int_0^1 (R_{i-1} + \Delta_i \xi) q(\xi) \Psi(\xi) d\xi \right] d\xi \quad (2.67)$$

$[0,1]$  aralığında bir integrale dönüştürülebilir. Bu aşamada  $\emptyset(\xi)$  ve  $\Psi(\xi)$  eleman içinde N'inci derece Lagrange tipi polinomlar olarak kısıtlanır ve eleman nod koordinatları eşit aralıklı olarak :

$$\xi_n = (n-1)/N, \quad n = 1, 2, \dots, N+1 \quad (2.68)$$

şeklinde seçilirse :

$$\emptyset(\xi) = \sum_{n=1}^{N+1} h_n(\xi) \emptyset_n \quad (2.69)$$

ve ;

$$\Psi(\xi) = \sum_{n=1}^{N+1} h_n(\xi) \Psi_n \quad (2.70)$$

yazılabilir. Burada, deneme fonksiyonu olarak bilinen  $h_n(\xi)$  fonksiyonları :

$$h_n(\xi_m) = \delta_{nm} \quad \begin{matrix} n = 1, \dots, N+1 \\ m = 1, \dots, N+1 \end{matrix} \quad (2.71)$$

özellikleri göstermekte yani kendi nodlarında 1, diğer nodlarda sıfır değerini almaktadırlar. Öte yandan :

$$\emptyset_n = \emptyset(\xi_n) \\ \Psi_n = \Psi(\xi_n) \quad n = 1, \dots, N+1 \quad (2.72)$$

olarak tanımlanmışlardır.

Sonlu elemanlar literatüründe N=1 seçimi lineer, N=2 seçimi kuadratik, N=3 seçimi kübik, N=4 seçimi kuartik elemanlara karşılık gelmektedir. Bu dört tür sonlu eleman seçimi için nod koordinatları ve o nodlara karşılık gelen deneme fonksiyonları Tablo 3.1' de sunulmuştur.

**Tablo 3.1 Deneme Fonksiyonları**

ELEMAN TÜRÜ (N)	NOD NUMARASI (n)	NOD KOORDİNALARI	DENEME FONKSİYONU $h_n(\xi)$
Lineer (1)	1	0	$1-\xi$
	2	1	$\xi$
Kuadratik (2)	1	0	$(1-2\xi)(1-\xi)$
	2	1/2	$4\xi(1-\xi)$
	3	1	$\xi(2\xi-1)$
Kübik (3)	1	0	$1/2(1-3\xi)(2-3\xi)(1-\xi)$
	2	1/3	$9/2 \xi(2-3\xi)(1-\xi)$
	3	2/3	$9/2 \xi(3\xi-1)(1-\xi)$
	4	1	$1/2 \xi(3\xi-1)(3\xi-2)$
Kuartik (4)	1	0	$1/3(1-4\xi)(1-2\xi)(3-4\xi)(1-\xi)$
	2	1/4	$16/3 \xi(1-2\xi)(3-4\xi)(1-\xi)$
	3	1/2	$-4\xi(1-4\xi)(3-4\xi)(1-\xi)$
	4	3/4	$16/3 \xi(1-4\xi)(1-2\xi)(1-\xi)$
	5	1	$-1/3 \xi(1-4\xi)(1-2\xi)(3-4\xi)$

(2.69) ve (2.70) ifadeleri, (2.67) eleman integralinin içine yerleştirilirse ;

$$\begin{aligned}
 I_i = & \sum_{m=1}^{N+1} \Psi_m^i \left( \sum_{n=1}^{N+1} \left\{ \int_0^1 \left[ \frac{D_i}{\Delta_i} (R_{i1} + \Delta_i \xi) \frac{dh_m}{d\xi} \frac{dh_n}{d\xi} \right. \right. \right. \\
 & \left. \left. \left. + \Sigma_i \Delta_i (R_{i1} + \Delta_i \xi) h_m(\xi) h_n(\xi) \right] d\xi \right\} \Theta_n^i \right. \\
 & \left. - \Delta_i \int_0^1 (R_{i1} + \Delta_i \xi) q(\xi) h_m(\xi) d\xi \right) \quad (2.73)
 \end{aligned}$$

eleman integrali elde edilir. Bu aşamada ;

$$a_{mn}^i = \int_0^1 \left[ \frac{D_i}{\Delta_i} (R_{i1} + \Delta_i \xi) \frac{dh_m}{d\xi} \frac{dh_n}{d\xi} + \Sigma_i \Delta_i (R_{i1} + \Delta_i \xi) h_m(\xi) h_n(\xi) \right] d\xi \quad (2.74)$$

$m = 1, \dots, N+1$

$n = 1, \dots, N+1$

eleman matrisi,

$$S_m = \int_0^1 \Delta_i (R_{i-1} + \Delta_i \xi) q(\xi) h_m(\xi) d\xi \quad m = 1, \dots, N+1 \quad (2.75)$$

tanımlamaları yapılrsa (2.73) numara ile ifade edilmiş olunan ifade ;

$$I_i = \sum_{m=1}^{N+1} \Psi_m \left\{ \sum_{n=1}^{N+1} a_{mn} \emptyset_n - S_m \right\} \quad (2.76)$$

şeklinde yazılabilir. Bu son denklem matris notasyonu ile ;

$$I_i = \Psi^T (A^T \emptyset^T - S^T) \quad (2.77)$$

şeklinde de ifade edilebilir. Lineer, kuadratik, kübik ve kuartik elemanlar için eleman matrisi  $A^T$  ;

$$A^T = \frac{D_i R_{i-1}}{\Delta i} A_1 + D_i A_2 + R_{i-1} \Delta_i \sum A_3 + \Delta_i^2 \sum A_4 \quad (2.78)$$

şekilde yazılmaktadır.  $A_1, A_2, A_3, A_4$  matrisleri aşağıda verilmiştir [4,9].

Lineer elemanlar için ;

$$A_1 = \begin{bmatrix} 1 & -1 \\ -1 & 1 \end{bmatrix} \quad A_2 = \frac{1}{2} \begin{bmatrix} 1 & -1 \\ -1 & 1 \end{bmatrix} \quad A_3 = \frac{1}{6} \begin{bmatrix} 2 & 1 \\ 1 & 2 \end{bmatrix} \quad A_4 = \frac{1}{12} \begin{bmatrix} 1 & 1 \\ 1 & 3 \end{bmatrix}$$

Kuadratik elemanlar için ;

$$A_1 = \frac{1}{3} \begin{bmatrix} 7 & -8 & 1 \\ -8 & 16 & -8 \\ 1 & -8 & 7 \end{bmatrix} \quad A_2 = \frac{1}{6} \begin{bmatrix} 3 & -4 & 1 \\ -4 & 16 & -12 \\ 1 & -12 & 11 \end{bmatrix}$$

$$A_3 = \frac{1}{30} \begin{bmatrix} 4 & 2 & -1 \\ 2 & 16 & 2 \\ -1 & 2 & 4 \end{bmatrix} \quad A_4 = \frac{1}{60} \begin{bmatrix} 1 & 0 & -1 \\ 0 & 16 & 4 \\ -1 & 4 & 7 \end{bmatrix}$$

Kübik elemanlar için ;

$$A_1 = \frac{1}{40} \begin{bmatrix} 148 & -189 & 54 & -13 \\ -189 & 432 & -297 & 54 \\ 54 & -297 & 432 & -189 \\ -13 & 54 & -189 & 148 \end{bmatrix} \quad A_2 = \frac{1}{80} \begin{bmatrix} 34 & -51 & 30 & -13 \\ -51 & 270 & -297 & 78 \\ 30 & -297 & 594 & -327 \\ -13 & 78 & -327 & 262 \end{bmatrix}$$

$$A_3 = \frac{1}{1680} \begin{bmatrix} 128 & 99 & -36 & 19 \\ 99 & 648 & -81 & -36 \\ -36 & -81 & 648 & 99 \\ 19 & -36 & 99 & 128 \end{bmatrix} \quad A_4 = \frac{1}{3360} \begin{bmatrix} 19 & 9 & 9 & 19 \\ 9 & 405 & -81 & -81 \\ 9 & -81 & 891 & 189 \\ 19 & -81 & 189 & 237 \end{bmatrix}$$

Kuartik elemanlar için ;

$$A_1 = \frac{1}{945} \begin{bmatrix} 4925 & -6848 & 3048 & -1472 & 347 \\ -6848 & 16640 & -14208 & 5888 & -1472 \\ 3048 & -14208 & 22320 & -14208 & 3048 \\ -1472 & 5888 & -14208 & 16640 & -6848 \\ 347 & -1472 & 3048 & -6848 & 4925 \end{bmatrix}$$

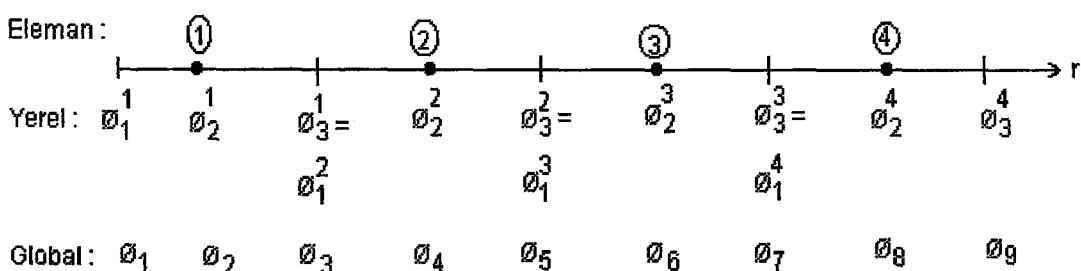
$$A_2 = \frac{1}{1890} \begin{bmatrix} 705 & -992 & 804 & -864 & 347 \\ -992 & 6400 & -9216 & 5888 & -2080 \\ 804 & -9216 & 22320 & -19200 & 5292 \\ -864 & 5888 & -19200 & 26880 & -12704 \\ 347 & -2080 & 5292 & -12704 & 9145 \end{bmatrix}$$

$$A_3 = \frac{1}{11340} \begin{bmatrix} 584 & 592 & -348 & 112 & -58 \\ 592 & 3584 & -768 & 512 & 112 \\ -348 & -768 & 3744 & -768 & -348 \\ 112 & 512 & -768 & 3584 & 592 \\ -58 & 112 & -348 & 592 & 584 \end{bmatrix}$$

$$A_4 = \frac{1}{11340} \begin{bmatrix} 29 & 32 & 0 & -32 & -29 \\ 32 & 768 & -192 & 256 & 144 \\ 0 & -192 & 1872 & -576 & -348 \\ -32 & 256 & -576 & 2816 & 560 \\ -29 & 144 & -348 & 560 & 555 \end{bmatrix}$$

şeklindedir.

Sonlu elemanlar terminolojisinde nodlar bir eleman içi, bir de global numaralandırmaya sahiptirler. (2.64) numaralı ifadeye göre tüm eleman integrallerinin toplamının sıfır olması gerektiğinden, eleman integrallerinin toplanması gerekir. Ancak bu toplamayı yapabilmek için eleman matris ve vektörlerinin boyutunun sistemdeki toplam nod sayısına genişletilmesi gerekir. Bu formal olarak **Boole** matrisleri aracılığıyla yapılır. Konuya açıklık kazandırmak için 4 kuadratik elemandan meydana gelen bir sistemde yerel ve global nod numaralandırılması verilecektir.



Buna göre ;

$$\emptyset = [\emptyset_1 \emptyset_2 \emptyset_3 \emptyset_4 \emptyset_5 \emptyset_6 \emptyset_7 \emptyset_8 \emptyset_9]^T$$

global vektörü temsil ederken :

$$\underline{\Phi} = [\underline{\Phi}_1 \underline{\Phi}_2 \underline{\Phi}_3]^T$$

yerel 2inci eleman vektörünü temsil etmektedir. Bu iki vektör ;

$$\underline{\Phi} = J^2 \underline{\Phi}$$

şeklinde birbirlerinin cinsinden yazılabilirler [9].

Buradaki  $J^2$  matrisine **Boole** matrisi denilmektedir. Verilen örnekte ;

$$\begin{bmatrix} \underline{\Phi}_1^2 \\ \underline{\Phi}_2^2 \\ \underline{\Phi}_3^2 \end{bmatrix} = \underbrace{\begin{bmatrix} 0 & 0 & 1 & 0 & 0 & 0 & 0 & 0 & 0 \\ 0 & 0 & 0 & 1 & 0 & 0 & 0 & 0 & 0 \\ 0 & 0 & 0 & 0 & 1 & 0 & 0 & 0 & 0 \end{bmatrix}}_{J^2} \begin{bmatrix} \underline{\Phi}_1 \\ \underline{\Phi}_2 \\ \underline{\Phi}_3 \\ \underline{\Phi}_4 \\ \underline{\Phi}_5 \\ \underline{\Phi}_6 \\ \underline{\Phi}_7 \\ \underline{\Phi}_8 \\ \underline{\Phi}_9 \\ \underline{\Phi} \end{bmatrix}$$

olur. Genelde ise ;

$$\underline{\Phi} = J^i \underline{\Phi} \quad (2.79)$$

$$\underline{\Psi} = J^i \underline{\Psi} \quad (2.80)$$

yazılabilir. (2.79) ve (2.80) ifadeleri, (2.77) ile ifade edilmiş eleman integraline yerleştirilirlerse ;

$$I_i = \underline{\Psi}^T (J^i A^i J^i \underline{\Phi} - J^i S^i) \quad (2.81)$$

denklemi elde edilir. (2.81) ifadesi (2.64) ile ifade edilmiş ilkesel denkleminde yerine konulursa ;

$$I_i = \underline{\Psi}^T \left[ \left( \sum_{i=1}^I J^i A^i J^i \right) \underline{\Phi} - \sum_{i=1}^I J^i S^i \right] = 0 \quad (2.82)$$

yazılabilir.

Her Lagrange tipi polinom olan test fonksiyonu için (2.82) ifadesinin sağlaması ancak;

$$\left( \sum_{i=1}^I J^T A^i J^i \right) \emptyset = \sum_{i=1}^I J^T S^i \quad (2.83)$$

olması halinde mümkündür. Global sistem matrisi ve vektörü ;

$$A = \sum_{i=1}^I J^T A^i J^i \quad (2.84)$$

$$S = \sum_{i=1}^I J^T S^i \quad (2.85)$$

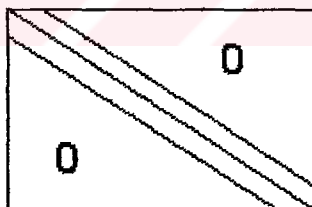
tanımlanırsa ;

$$A \emptyset = s \quad (2.86)$$

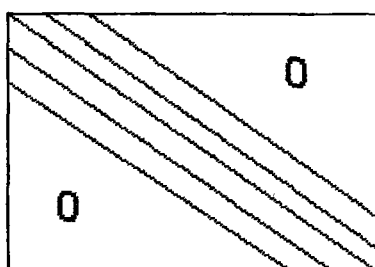
lineer sistemi elde edilir. Bu lineer sistem çözümünde  $\emptyset$  aranılan akı vektörüdür.

Sonsuz silindir geometride sistem matrisi  $A$ , nod sayısı boyutunda bir kare matris olup, simetrik, pozitif kesin ve bantlıdır. N ile eleman derecesini ifade ederse  $A$ 'nın yarı-bant genişliği  $N+1$  olmaktadır.

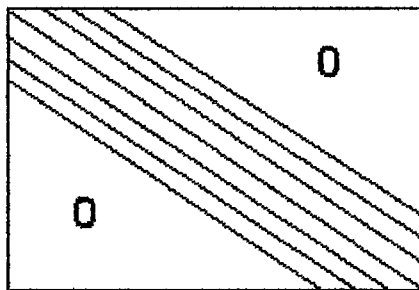
Sistem matrisi ;  $A$ , lineer elemanlar için ;



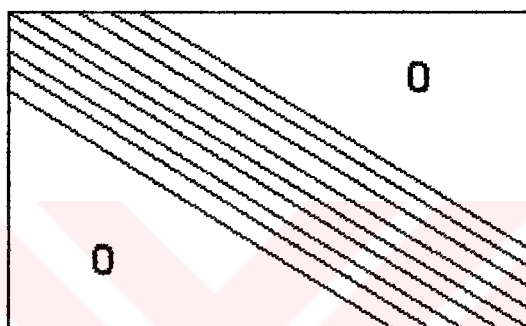
kuadratik elemanlar için ;



küpik elemanlar için ;



kuartik elemanlar için ;



şeklindedir.

### II.2.3. Kaynak Vektörü Hesabı

(2.37), (2.39), (2.41) ve (2.42) denklemleri incelenirse, kaynak terimin saçılma veya fisyonda ;

$$q(\vec{r}) = \sum \emptyset(\vec{r}) \quad (2.87)$$

şeklinde terimlerin toplamı olduğu görülür. Bu çalışmada (2.75) ile ifade edilmiş denklemle eleman kaynak vektörünün bileşenleri hesaplanırken ;

$$q(\xi) \approx \sum_i \emptyset_m^i \quad (2.88)$$

yaklaşımı yapılarak ;

$$s_m^i \approx (\Delta_i \sum_{j=0}^1 (R_{i-1} + \Delta_i \xi_j) h_m(\xi_j) d\xi_j) \emptyset_m^i \quad (2.89)$$

yazılabilmiştir.

Burada kaynak matrisi, köşegen bir matris olarak ;

$$S_{nm}^i \approx \Delta_i \sum_0^1 (R_{i-1} + \Delta_i \xi) h_m(\xi) d\xi \delta_{nm} \quad (2.90)$$

olarak tanımlanır [9] ;

$$\begin{matrix} i \\ = \end{matrix} R_{i-1} \Delta_i \sum_0^2 S_1 + \Delta_i \sum_1 S_2 \quad (2.91)$$

ifadesi yazılabilir.  $S_1$  ve  $S_2$  matrisleri aşağıda değişik eleman dereceleri için verilmiştir.

Lineer elemanlar için ;

$$S_1 = \frac{1}{2} \begin{bmatrix} 1 & 0 \\ 0 & 1 \end{bmatrix} \quad S_2 = \frac{1}{6} \begin{bmatrix} 1 & 0 \\ 0 & 2 \end{bmatrix}$$

Kuadratik elemanlar için ;

$$S_1 = \frac{1}{6} \begin{bmatrix} 1 & 0 & 0 \\ 0 & 4 & 0 \\ 0 & 0 & 1 \end{bmatrix} \quad S_2 = \frac{1}{6} \begin{bmatrix} 0 & 0 & 0 \\ 0 & 2 & 0 \\ 0 & 0 & 1 \end{bmatrix}$$

kübik elemanlar için ;

$$S_1 = \frac{1}{8} \begin{bmatrix} 1 & 0 & 0 & 0 \\ 0 & 3 & 0 & 0 \\ 0 & 0 & 3 & 0 \\ 0 & 0 & 0 & 1 \end{bmatrix} \quad S_2 = \frac{1}{120} \begin{bmatrix} 2 & 0 & 0 & 0 \\ 0 & 9 & 0 & 0 \\ 0 & 0 & 36 & 0 \\ 0 & 0 & 0 & 13 \end{bmatrix}$$

Kuartik elemanlar için ;

$$S_1 = \frac{1}{90} \begin{bmatrix} 7 & 0 & 0 & 0 & 0 \\ 0 & 32 & 0 & 0 & 0 \\ 0 & 0 & 12 & 0 & 0 \\ 0 & 0 & 0 & 32 & 0 \\ 0 & 0 & 0 & 0 & 7 \end{bmatrix} \quad S_2 = \frac{1}{90} \begin{bmatrix} 0 & 0 & 0 & 0 & 0 \\ 0 & 8 & 0 & 0 & 0 \\ 0 & 0 & 6 & 0 & 0 \\ 0 & 0 & 0 & 24 & 0 \\ 0 & 0 & 0 & 0 & 7 \end{bmatrix}$$

Şeklindedirler. Kaynak teriminin (2.88) ifadesi yaklaşımıyla hesaplanması, sonlu elemanlar literatüründe yiğilmiş kaynak yaklaşımı adı verilmekte ve bu yaklaşım kaynak matrislerinin köşegen bir yapıya sahip olması sağlanmaktadır. Bu yaklaşım yapılmayıp (2.87) ifadesindeki akı da (2.69) ifadesindeki sonlu eleman açılımına tabi tutulsa idi, kaynak matrisleri de tipki sistem matrislerinin ki gibi simetrik, bant - genişlikli yapıda olacaktır. Bilgisayar belleğinden tasarruf için çoğu sonlu eleman uygulamasında yiğilmiş kaynak yaklaşımı kullanılmaktadır.

Fisyon kaynağı iterasyonu sırasında grup içi denklemin ((2.36) ifadesi) çözümü, sonlu eleman yaklaşımıyla ; akı hesabı için :

$$\underline{A}_g \underline{\emptyset}_g = \underline{s}_g^{(n+1)} \quad (2.92)$$

şekline dönüştür. Burada ;  $\underline{A}_g$ , (2.40) daki  $D$  'nin  $D^g$  ' ye  $\Sigma_{r'}$  ' nin ise  $\Sigma_{r,g}$  ' e eşit alınması ile hesaplanır.

Öte yandan ;

$$\underline{s}_g^{(n+1)} = \sum_{g'=1}^{g-1} \underline{s}_{\underline{\emptyset}}^{g \leftarrow g'} \underline{\emptyset}^{g'(n+1)} + \frac{1}{k^{(n)}} \sum_{g'=1}^G \underline{F}_{\underline{\emptyset}}^{g \leftarrow g'} \underline{\emptyset}^{g'(n)} \quad (2.93)$$

$\underline{s}_g^{(n+1)}$  şeklinde tanımlanır.  $\underline{s}_{\underline{\emptyset}}^{g \leftarrow g'}$  (2.88) denklemindeki  $\Sigma_i$  ' nin  $\sum_{s,i}^{g \leftarrow g'}$  ' e eşit alınması,  $\underline{F}_{\underline{\emptyset}}^{g \leftarrow g'}$  ise yine (2.88) denklemindeki  $\Sigma_i$  ' nin  $\chi_g \vee \sum_{t,g',i}$  ne eşit alınmasıyla elde edilir.

Ek akı hesabında ise denklem ;

$$\underline{A}_g \underline{\emptyset}_g^{+(n+1)} = \underline{s}_g^{+(n+1)} \quad (2.94)$$

şeklindedir.  $\underline{A}_g$ , doğal olarak (2.92) ' deki ile aynı olup ;

$$\underline{s}_g^{+(n+1)} = \sum_{g'=g+1}^G \underline{s}_{\underline{\emptyset}}^{g' \leftarrow g} \underline{\emptyset}^{g'(n+1)} + \frac{1}{k^{(n)}} \sum_{g'=1}^G \underline{F}_{\underline{\emptyset}}^{g' \leftarrow g} \underline{\emptyset}^{g'(n)} \quad (2.95)$$

şeklinde tanımlıdır.

### **III. UYGULAMALAR**

Daha önceki bölümde açıklanan teori geliştirilen 75\_YIL programına uyarlanarak FORTRAN dilinde programlandı. 75\_YIL programı çok gruplu yetkinlik problemini çözerek akı ve ek-akı dağılımlarını hesaplayabilecek nitelikte geliştirildi. 75\_YIL programı ayrıca serbest kaynaklı problemlerde akı ve ek-akı dağılımlarını hesaplama yeteneğine de sahiptir. Program, tek boyutlu silindirik geometride Galerkin sonlu elemanlar yöntemiyle lineer, kuadratik, kübik ve kuartik Lagrange tipi sonlu elemanlar kullanarak, grup içi difüzyon denklemini çözmekte, lineer sistem çözümlerini ise yarı-bant genişlikli depolama teknigi kullanılarak Cholesky ayırtımı ile gerçekleştirilmektedir.

Programın çalışılabilirliğinin kanıtlanması için, önce analitik çözümü bilinen problemlerin bu programla çözümü gerçekleştirildi. Elde edilen etkin çoğaltma katsayıları, ek-akı (ve akı) dağılımları, analitik sonuçlarla karşılaştırılarak, programın çalışırlığı kanıtlandı. Program daha sonra İTÜ Triga Mark II reaktörü hesabında ek akı (ve akı) tayini için koşuldu. Burada elde edilen sonuçlar, Slovenya ‘da geliştirilmiş olan CEBIS [11] adlı sonlu farklar programının çıktıları ile karşılaştırıldı ve doğrulukları sınanarak görüldü.

#### **III.1 ANALİTİK ÇÖZÜMÜ BULUNAN PROBLEMLER ARACILIĞI İLE SINAMA**

##### **III.1.1. Ciplak, Homojen Reaktörün Tek Gruplu Difüzyon Teorisi Analizi**

Program, ilk önce en basit yetkinlik özdeğer problemi oluşturulan bu problemde sınındı. Tek gruplu teori de akı ile ek-akı özdeş olduğundan, ayrı ayrı hesap yapılmayıp, tek bir koşu yeterli oldu. Bu problemde  $D = 9,21 \text{ cm}$ ,  $\Sigma_a = 0,152149 \text{ cm}^{-1}$ ,  $v\Sigma_f = 0,155952 \text{ cm}^{-1}$  alındı. Silindirik sistemin yarıçapı ise  $R = 98,74 \text{ cm}$  kabul edildi.

Bu reaktörün etkin çoğaltma katsayısı analitik olarak ;

$$k_{\text{etk}} = \frac{v \sum f / \sum a}{1 + L^2 B g^2}, \quad L = \sqrt{D / \sum a} \quad (3.1)$$

formülüyle  $k_{\text{etk}} = 0,989462$  olarak hesaplanır. Özdeş olan akı ve ek-akı ise ; ek - akı merkezde 1 olarak normalize edilirse ;

$$\phi(r) = J_0(2,405 r / R), \quad 0 < r < R \quad (3.2)$$

şeklindedir. Sistemin difüzyon uzunluğu  $L = 7,78$  cm. olup, sistem yaklaşık 12,7 difüzyon uzunluğundadır. 75\_YIL programı 240 lineer sonlu eleman kullanılarak son derece ince bir sonlu eleman ızgarası ile koşulmuştur. Elde edilen  $k_{\text{etk}} = 0,989419$  şeklindedir. Buna göre  $k_{\text{etk}}$  'deki hata % 0,0043 olup yüzbinde 4 gibi çok küçük bir hata ile 75\_YIL programı etkin çoğaltma katsayısını hesaplamıştır. Sistemin ortalama akısı ( veya ek-akısı ) ;

$$\bar{\phi} = \frac{\int_0^R \phi(r) 2\pi r dr}{\pi R^2} \quad (3.3)$$

tanımından ;

$$\bar{\phi} = \frac{2}{R^2} \int_0^R r J_0(2,405 r / R) dr$$

$$\Rightarrow \frac{2}{(2,405)^2} \int_0^{2,405} r' J_0(r') dr'$$

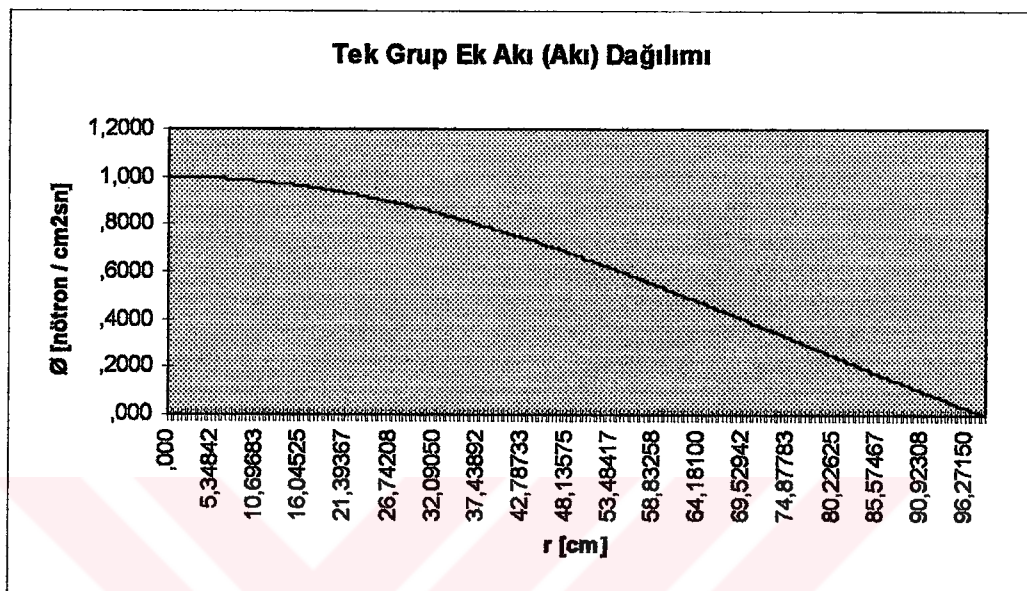
$$\Rightarrow \frac{2}{(2,405)^2} \cdot r' \cdot J_1(r') \Big|_0^{2,405}$$

$$\Rightarrow \frac{2}{(2,405)^2} \cdot 2,405 \cdot J_1(2,405)$$

$$\approx 2 * 0,520 / 2,405 = 0,432$$

olarak hesaplanabilir. 75\_YIL programının hesapladığı ortalama ek-akı da üç hane hassasiyetle yine 0,432 'dir.

Bu sistem için elde edilen analitik ve sayısal akı dağılımları grafiksel olarak Şekil 3.1 'de sunulmuştur. Sayısal çözümdeki çok yüksek hassasiyet nedeni ile iki grafik birbirinden ayırt edilemeyecek şekilde üst üste binmişlerdir.



**Sekil 3.1 Çiplak Homojen Reaktörde Tek Gruplu Ek Akı Dağılımı**

### III.1.2. Çiplak, Homojen Reaktörün İki Gruplu Akı ve Ek Akı Dağılımlarının İrdelenmesi

İki gruptu teoride akı ve ek akı özdeş olmaktan çıkarlar. Bu bağlamda 75\_YIL programı koşularak, iki gruptu teori çerçevesinde yine çiplak, homojen bir reaktörün ilk önce yetkin yarıçapı analitik olarak hesaplanmış, sonra bu yetkin yarıçap 75\_YIL programına girdilerek  $k_{etik}$  'i 1 'e ne kadar yakın hesapladığı araştırılmıştır. Ayrıca analitik ve sayısal, hızlı ve termal ek-akı ve akıların karşılaştırılması yapılmıştır.

İki gruptu tesir kesitleri  $D_1 = 1,2627 \text{ cm.}$ ,  $\Sigma_{r,1} = 0,02619 \text{ cm}^{-1}$ ,  $\Sigma_{s,2 \leftarrow 1} = 0,01412 \text{ cm}^{-1}$ ,  $v\Sigma_{f,1} = 0,008476 \text{ cm}^{-1}$ ,  $D_2 = 0,3543 \text{ cm}^{-1}$ ,  $\Sigma_{a,2} = 0,1210 \text{ cm}^{-1}$ ,  $v\Sigma_{f,2} = 0,18514 \text{ cm}^{-1}$ ,  $\chi_1 = 1$ ,  $\chi_2 = 0$  olarak alınmıştır.

Yetkinlik koşulu ;

$$1 = \frac{(\nu \Sigma_{f,2} / \Sigma_{a,2})(\Sigma_{s,2 \leftarrow 1} / \Sigma_{r,1}) - (\nu \Sigma_{f,1} / \Sigma_{r,1})}{(1 + L_1^2 Bg^2)(1 + L_2^2 Bg^2)} + \frac{(1 + L_1^2 Bg^2)}{(1 + L_2^2 Bg^2)} \quad (3.4)$$

şeklindedir [5]. Burada  $L_1^2 = D_1 / \Sigma_{r,1}$ ,  $L_2^2 = D_2 / \Sigma_{a,2}$  olarak tanımlanmışlardır.

Sayısal değerler yerine konulursa bilinmeyen olarak geometrik akı - büküm,  $Bg^2$  'yi bilinmeyen olarak içeren ;

$141,1726165 (Bg^2)^2 + 50,19352285703 Bg^2 - 0,148559256 = 0$  ikinci derece cebirsel denklem ortaya çıkar. Bu denklem çözüлerek ;  $Bg^2 = 0,00293549338709 \text{ cm}^{-2}$  sonucu elde edilir. Silindir şeklinde reaktör geometrik akı büküm tanımına göre  $Bg^2 = (2,405 / R)^2$  ' den  $R = 44,38891478038 \text{ cm}$ . olarak yetkin yarıçap bulunur. İki gruplu teoriye göre, termal grup akı denklemi ;

$$-\Sigma_{s,2 \leftarrow 1} \emptyset_1 + (D_2 Bg^2 + \Sigma_{a,2}) \emptyset_2 = 0$$

çözülürse ;

$S = \emptyset_2 / \emptyset_1 = \Sigma_{s,2 \leftarrow 1} / (D_2 Bg^2 + \Sigma_{a,2})$  elde edilir. Sayısal değerler yerine konulursa

$S = 0,115699$  olarak saptanır. Termal grup ek-akı denklemi ise  $\chi_1 = 1$  olduğu göz önüne alınarak [5] ;

$$-\nu \Sigma_{f,2} \emptyset_1^+ + (D_2 Bg^2 + \Sigma_{a,2}) \emptyset_2^+ = 0$$

şeklinde yazılabilir. Sayısal değerler yerleştirilirlerse ;

$$S^+ = \emptyset_2^+ / \emptyset_1^+ = 1,517043029007$$

Gördüğü gibi termal akı hızlı akıdan küçük olduğu halde ( $S = 0,115699$ ), termal ek akı, hızlı ek-akıdan büyüktür. Bunun nedeni termal nötronların reaktiviteye tesir açısından hızlı nötronlara nazaran daha büyük öneme sahip olmalarından kaynaklanmaktadır. Geçen alt bölümde anlatıldığı şekilde ortalama akı hesabı da yapılabilir. Bu takdirde ortalama değerler ;  $\emptyset_1(0) = 1$ ,  $\emptyset_1^+(0) = 1$  normalizasyonu ile ;

$$\bar{\emptyset}_1 = 0,4324$$

$$\bar{\emptyset}_1^+ = 0,4324$$

$$\bar{\emptyset}_2 = 0,0500$$

$$\bar{\emptyset}_2^+ = 0,6550$$

olarak hesaplanmıştır.

Bu problem  $R = 44,38891478$  ( yetkin yarıçap ) girilerek 75\_YIL programında 320 lineer sonlu eleman kullanılarak koşulmuş ve  $k_{eff} = 1,00002164$  olarak hesaplanmıştır. Buna göre hata % 0,0022 olup yüzbinde 2 gibi çok çok küçük bir değerdir. 75\_YIL programı akı ve ek-akı problemleri için ayrı ayrı koşulmuş, ve ortalama akılar ;

$$\bar{\Phi}_1 = 0,4318$$

$$\bar{\Phi}_1^+ = 0,4318$$

$$\bar{\Phi}_2 = 0,0500$$

$$\bar{\Phi}_2^+ = 0,6550 \quad \text{olarak hesaplanmıştır.}$$

Yani analitik değerler ile sayısal değerler arasında çok az farklılık göze çarpmaktadır.

Analitik akı dağılımı, belirtilen normalizasyonla,  $R = 44,38891478038$  cm. olarak

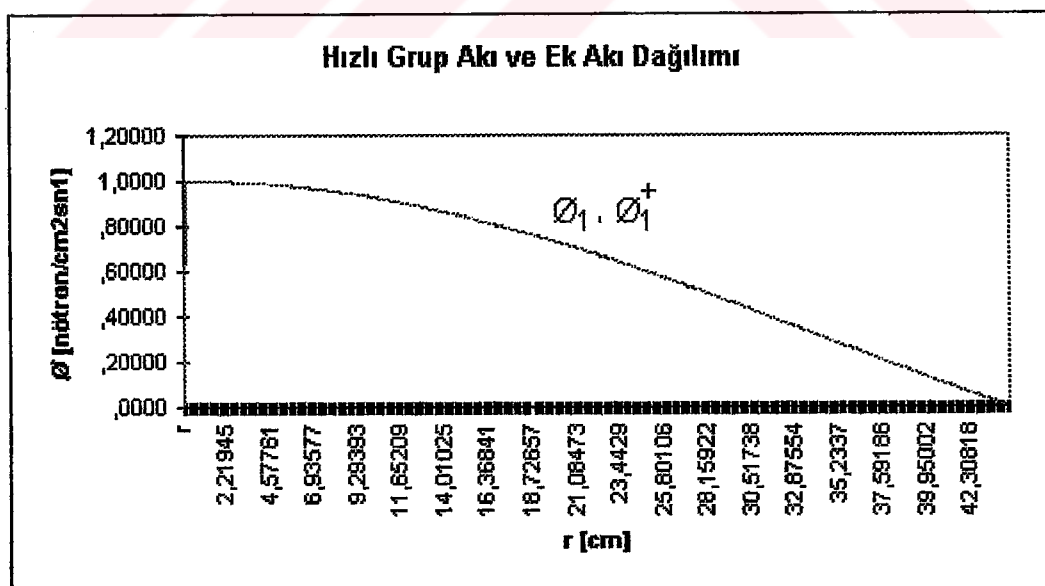
$$\Phi_1(r) = Jo(2,405 r / R)$$

$$\Phi_2(r) = 0,115699 \cdot Jo(2,405 r / R)$$

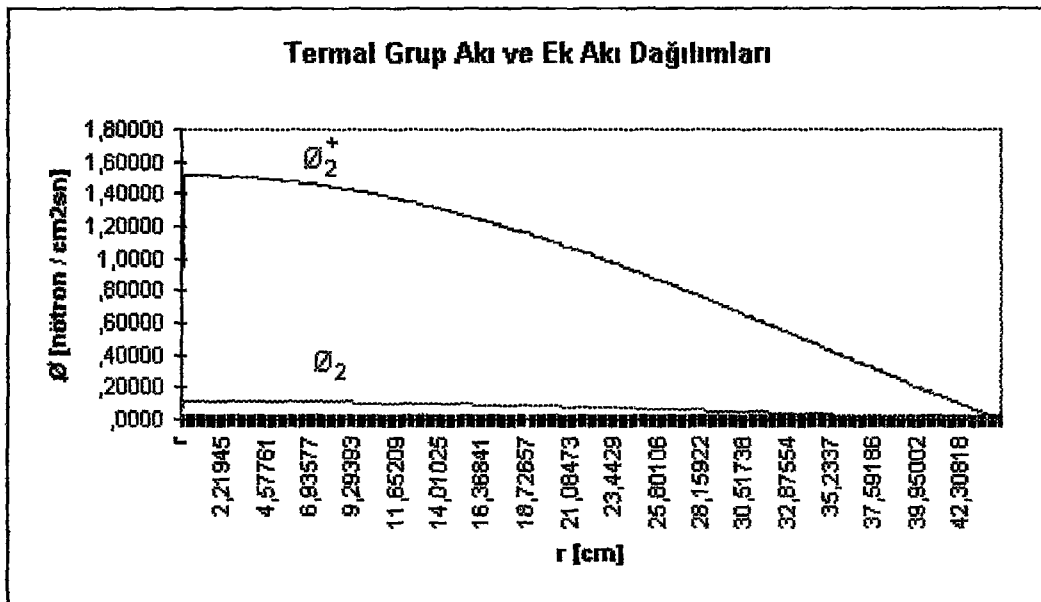
$$\Phi_1^+(r) = Jo(2,405 r / R)$$

$$\Phi_2^+(r) = 1,517043029007 \cdot Jo(2,405 r / R)$$

şeklindedir. Hızlı ve termal akı ve ek-akı dağılımları Şekil 3.2 ve Şekil 3.3 ' da sunulmuştur. Şekillerden de görüldüğü gibi termal ek-akı, akının çok üzerinde olup, termal nötronların reaktiviteye tesiri açısından önemini gözler önüne sermektedir.



**Şekil 3.2 Çiplak Homojen Reaktörde Hızlı Grup Akı ve Ek Akı Dağılımı**



**Şekil 3.3 Çiplak Homojen Reaktörde Termal Grup Aki ve Ek Aki Dağılımları**

### III.1.3. Yansıtıcılı Reaktörün İki Gruplu Teori Analizi, Ek-Akı ve Akı Dağılımları

75\_YIL programının doğrulanması için ele aldığımız üçüncü problem yansıtıcılı termal ve yetkin bir reaktörün iki-gruplu difüzyon teorisi ile hesabı oldu. Kalp ve yansıtıcıdan oluşan böyle bir sistem için iki gruplu ek difüzyon denklemleri ; kalp için :

$$-D_1^k \nabla^2 \Phi_1^+(\vec{r}) + \sum_{f,1}^k(\vec{r}) \Phi_1^+(\vec{r}) = v_1 \sum_{f,1} \Phi_1^+(\vec{r}) + \sum_{s,2 \leftarrow 1}^k \Phi_2^+(\vec{r}) \quad (3.5)$$

$$-D_2^k \nabla^2 \Phi_2^+(\vec{r}) + \sum_{a,2}^k(\vec{r}) \Phi_2^+(\vec{r}) = v_2 \sum_{f,2} \Phi_1^+(\vec{r}), \quad r \in V^k \quad (3.6)$$

şeklindedir. Bu denklemler ;

$$(M_1^k)^2 = D_1^k / (\sum_{f,1}^k - v_1 \sum_{f,1}) \quad (M_2^k)^2 = D_2^k / \sum_{a,2}^k \quad (3.7)$$

tanımlarıyla ;

$$\nabla^2 \Phi_1^+(\vec{r}) - [1/(M_1^k)^2] \Phi_1^+(\vec{r}) = [-\sum_{s,2 \leftarrow 1}^k / D_1^k] \Phi_2^+(\vec{r}) \quad (3.8)$$

$$\nabla^2 \Phi_2^+(\vec{r}) - [1/(M_2^k)^2] \Phi_2^+(\vec{r}) = [-v_2 \sum_{f,2}^k / D_2^k] \Phi_1^+(\vec{r}) \quad (3.9)$$

şeklinde de yazılabilir. Son denklemi  $\Phi_1^+(\vec{r})$  için çözülürse ;

$$\Phi_1^+(\vec{r}) = [D_2^k / v_2 \sum_{f,2}^k] [-\nabla^2 \Phi_2^+(\vec{r}) + (1/(M_2^k)^2) \Phi_2^+(\vec{r})] \quad (3.10)$$

bulunur.

Son ifade, hızlı - grup denkleminde kullanılırsa ;

$$(M_1^k)^2 (M_2^k)^2 \nabla^4 \Phi_2^+(\vec{r}) - [(M_1^k)^2 + (M_2^k)^2] \nabla^2 \Phi_2^+(\vec{r}) - [((\sum_{s,2=1}^k (M_1^k)^2 (M_2^k)^2 v_2 \sum_{f,2}^k) / D_1^k D_2^k) - 1] \Phi_2^+(\vec{r}) = 0 \quad (3.11)$$

öte yandan, ( 3.11 ) no ' lu denklemde  $\Phi_2^+$  ' ı çarpan katsayı ( $k_\infty - 1$ ) 'dır. ( 3.11 ) ifadesi düzenlenerek ;

$$\nabla^4 \Phi_2^+(\vec{r}) - [1/(M_1^k)^2 + 1/(M_2^k)^2] \nabla^2 \Phi_2^+(\vec{r}) - [(k_\infty - 1)/(M_1^k)^2 (M_2^k)^2] \Phi_2^+(\vec{r}) = 0 \quad (3.12)$$

şeklinde ifade edilebilir. Bu denklem [6] ;

$$(\nabla^2 + \mu^2) (\nabla^2 - \lambda^2) \Phi_2^+(\vec{r}) = 0 \quad (3.13)$$

şeklinde faktörize edilirse ;

$$\mu^2 \lambda^2 = (k_\infty - 1) / [(M_1^k)^2 (M_2^k)^2] \quad (3.14)$$

$$\lambda^2 - \mu^2 = 1/(M_1^k)^2 + 1/(M_2^k)^2 \quad (3.15)$$

denklemleri bulunur. Bu iki denklem birarada çözülürse ;

$$\mu^2 = (1/2(M_1^k)^2 (M_2^k)^2) [ -((M_1^k)^2 + (M_2^k)^2) + \sqrt{[(M_1^k)^2 + (M_2^k)^2]^2 + 4(k_\infty - 1)(M_1^k)^2 (M_2^k)^2} ]^{-1} \quad (3.16)$$

$$\lambda^2 = (1/2(M_1^k)^2 (M_2^k)^2) [ ((M_1^k)^2 + (M_2^k)^2) + \sqrt{[(M_1^k)^2 + (M_2^k)^2]^2 + 4(k_\infty - 1)(M_1^k)^2 (M_2^k)^2} ]^{-1} \quad (3.17)$$

elde edilir. Fakat ( 3.13 ) denkleminin çözümü ;

$$(\nabla^2 + \mu^2) X(\vec{r}) = 0 \quad (3.18)$$

$$(\nabla^2 - \lambda^2) Y(\vec{r}) = 0 \quad (3.19)$$

denklemi sağlayan fonksiyonlardır. Buna göre, genel çözüm ;

$$\Phi_2^+(\vec{r}) = A^+ X(\vec{r}) + C^+ Y(\vec{r}) \quad (3.20)$$

şeklinde oluşur. Çalışma özelinde, sonsuz silindir geometri çerçevesinde hareket edilmektedir. Bu geometride ( 3.18 ) denklemi ;

$$(1/r) \cdot d/dr[r dX/dr] + \mu^2 X(\vec{r}) = 0 \quad (3.21)$$

sıfırıncı mertebe Bessel diferansiyel denklemidir. Akının sonlu olması koşulu göz önüne alınırsa;

$$X(r) = J_0(\mu r) \quad (3.22)$$

bulunur.

Silindir geometride ( 3.19 ) ise ;

$$(1/r) \cdot d/dr[r dY/dr] - \lambda^2 Y(\vec{r}) = 0 \quad (3.23)$$

sıfırıncı mertebe değiştirilmiş Bessel differansiyel denklemidir. Yine akının sonlu olması koşulundan ;

$$Y(r) = I_0(\lambda r) \quad (3.24)$$

bulunur. Buna göre silindirik geometride ;

$$\phi_2^+(r) = A^+ J_0(\mu r) + C^+ I_0(\lambda r) \quad (3.25)$$

olarak, kalp içi dağılım bulunur. Hızlı ek-akı için

$$\phi_1^+(\vec{r}) = A^{+'} X(\vec{r}) + C^{+'} Y(\vec{r}) \quad (3.26)$$

çözümü önerilir ve ( 3.25 ), ( 3.26 ) ifadeleri ( 3.5 ) numaralı ifadesine yerleştirilirse ;

$$[(\mu^2 D_l^k + \sum_{r,1}^k - v_1 \sum_{f,1}^k) A^{+'} - \sum_{s,2 \leftarrow 1}^k A^+] X(\vec{r}) - [(\lambda^2 D_l^k - (\sum_{r,1}^k - v_1 \sum_{f,1}^k)) C^{+'} + \sum_{s,2 \leftarrow 1}^k C^+] Y(\vec{r}) = 0 \quad (3.27)$$

elde edilir. ( 3.27 ) ‘nin sağlanması için  $X(r)$  ve  $Y(r)$  ‘nin katsayılarının özdeş olarak sıfıra eşit olması gereklidir. Buradan ;

$$S_1^+ = A^{+'} / A^+ = [\sum_{s,2 \leftarrow 1}^k / (\sum_{r,1}^k - v_1 \sum_{f,1}^k)] / (1 + \mu^2 (M_l^k)^2) \quad (3.28)$$

$$S_2^+ = C^{+'} / C^+ = [\sum_{s,2 \leftarrow 1}^k / (\sum_{r,1}^k - v_1 \sum_{f,1}^k)] / (1 - \lambda^2 (M_l^k)^2) \quad (3.29)$$

buradan da ;

$$\phi_1^+(\vec{r}) = A^+ S_1^+ X(\vec{r}) + C^+ S_2^+ Y(\vec{r}) \quad (3.30)$$

çözümü bulunur. Öte yandan, yansıtıcı içinde iki grup denklemleri ;

$$-D_1^y \nabla^2 \phi_1^+(\vec{r}) + \sum_{r,1}^y \phi_1^+(\vec{r}) = \sum_{s,2 \leftarrow 1}^y \phi_2^+(\vec{r}) \quad (3.31)$$

$$-D_2^y \nabla^2 \phi_2^+(\vec{r}) + \sum_{a,2}^y \phi_2^+(\vec{r}) = 0 \quad , \quad r \in V^y \quad (3.32)$$

şeklindedir. ( 3.32 ) numaralı ifade  $-D_2^y$  ‘e bölünerek ;

$$\nabla^2 \phi_2^+(\vec{r}) - [1 / (L_2^y)^2] \phi_2^+(\vec{r}) = 0 \quad (3.33)$$

denklemi bulunur. Çözüm ise ;

$$\phi_2^+(\vec{r}) = G^+ Z_2(\vec{r}) \quad (3.34)$$

şeklinde ifade edilir.

( 3.33 ) denklemi, silindirik geometride ;

$$(1/r) \cdot d/dr[r d\varnothing_2^+/dr] - [1 / (L_2^y)^2] \varnothing_2^+(\vec{r}) = 0 \quad ( 3.35 )$$

sıfırıncı mertebe değiştirilmiş Bessel denklemidir. Kalp yarıçapı R ile yansıtıcı kalınlığı b ile gösterilip,  $\varnothing_2^+(R + b) = 0$  boşluk sınır koşulu uygulanırsa ;

$$Z_2(r) = I_0(r / L_2^y) R_0 [(R + b) / L_2^y] - I_0((R + b) / L_2^y) K_0(r / L_2^y) \quad ( 3.36 )$$

olarak ortaya çıkar. Şimdi ;

$$\varnothing_1^+(\vec{r}) = S_3^+ \varnothing_2^+(\vec{r}) + F^+ Z_1(\vec{r}) \quad ( 3.37 )$$

varsayılsın. Burada  $Z_1(r)$  ;

$$\nabla^2 Z_1(\vec{r}) - [1 / (L_2^y)^2] Z_1(\vec{r}) = 0 \quad ( 3.38 )$$

denklemi  $Z_1(\vec{r}) = 0$ ,  $\vec{r} \in S$  ( Sistem dış yüzeyi sağlayan fonksiyon ) olarak tanımlanmıştır.  $Z_1(\vec{r})$ , ( 3.36 ) 'de  $L_2^y$  'nin  $L_1^y$  'e ile değiştirilmesi ile açık biçimde yazılabilir. ( 3.34 ) ve ( 3.37 ), ( 3.31 ) 'da kullanılrsa ;

$$S_3^+ F^+ [\nabla^2 Z_2(\vec{r}) - [1 / (L_2^y)^2 - (\sum_{s,2 \leftarrow 1}^y (S_3^+ D_1^y))] Z_2(\vec{r})] + F^+ [\nabla^2 Z_1(\vec{r}) - (1 / (L_1^y)^2) Z_1(\vec{r})] = 0 \quad ( 3.39 )$$

bulunur. Ancak ( 3.38 ) tanımı nedeni ile  $F^+$  'nın katsayısı sıfırdır. Bu nedenle ;

$$\nabla^2 Z_2(\vec{r}) = [1 / (L_2^y)^2 - (\sum_{s,2 \leftarrow 1}^y (S_3^+ D_1^y))] Z_2(\vec{r}) \quad ( 3.40 )$$

olması gereklidir. ( 3.34 ) ve ( 3.35 ) ifadeleri ( 3.40 ) ile karşılaştırılırsa ;

$$1 / (L_2^y)^2 = 1 / (L_1^y)^2 - (\sum_{s,2 \leftarrow 1}^y (S_3^+ D_1^y)) \quad ( 3.41 )$$

denklemi elde edilir. ( 3.41 ) ifadesi,  $S_3^+$  için çözülerek ;

$$S_3^+ = (\sum_{s,2 \leftarrow 1}^y D_1^y) [(L_1^y)^2 (L_2^y)^2 / ((L_2^y)^2 - (L_1^y)^2)] \quad ( 3.42 )$$

sabiti bulunur. Kalp yansıtıcı arayüzünde ;  $S_I$  'de :

$$\varnothing_2^+(\vec{r}) = \varnothing_2^+(\vec{r}')$$

$$D_2^k d\varnothing_2^+(\vec{r}) / dn = D_2^y d\varnothing_2^+(\vec{r}') / dn$$

$$\varnothing_1^+(\vec{r}) = \varnothing_1^+(\vec{r}')$$

$$D_1^k d\varnothing_1^+(\vec{r}) / dn = D_2^y d\varnothing_1^+(\vec{r}') / dn, r \in S_I \quad ( 3.43 )$$

süreklik koşulları geçerlidir.

$X, Y, Z_1, Z_2$  ile bu fonksiyonların arayüzde aldıkları değerleri simgelendirilirse ;

$$\begin{aligned} A^+ X + C^+ Y &= G^+ Z_2 \\ A^+ D_2^k X' + C^+ D_2^k Y' &= G^+ D_2^y Z_2' \\ A^+ S_1^+ X + C^+ S_2^+ Y &= G^+ S_3^+ Z_2 + F^+ Z_1 \\ A^+ D_1^k S_1^+ X' + C^+ D_1^k S_2^+ Y' &= G^+ D_1^y S_3^+ Z_2' + F^+ D_1^y Z_1' \end{aligned} \quad (3.44)$$

elde edilir. “ ‘ ” işaret normal türev belirtmektedir. (3.39) homojen lineer sistemin sıfırdan başka çözümü olması için katsayılar determinantının sıfıra eşit olması gerekmektedir. Buradan ;

$$\left| \begin{array}{cccc} X & Y & -Z_2 & 0 \\ D_2^k X' & D_2^k Y' & -D_2^y Z_2' & 0 \\ S_1^+ X & S_2^+ Y & -S_3^+ Z_2 & -Z_2 \\ D_1^k S_1^+ X' & D_1^k S_2^+ Y' & -D_1^y S_3^+ Z_2' & -D_1^y Z_1' \end{array} \right| = 0 \quad (3.45)$$

Determinant açılıncı, sistem yetkinlik koşulu [6] ;

$$\begin{aligned} X' / X &= [D_2^k D_1^y (S_3^+ - S_1^+) (Y'/Y)(Z_1'/Z_1) + (D_2^k D_1^k S_2^+ - D_2^k D_1^y S_3^+) * \\ &\quad (Y'/Y)(Z_2'/Z_2) + D_1^y D_2^y (S_1^+ - S_2^+)(Z_1'/Z_1)(Z_2'/Z_2)] / \\ &\quad [D_1^k D_2^k (S_2^+ - S_1^+) (Y'/Y) + (D_2^y D_1^k S_1^+ - D_2^k D_1^y S_3^+) (Z_2'/Z_2) + \\ &\quad D_2^k D_1^y (S_3^+ - S_2^+)(Z_1'/Z_1)] \end{aligned} \quad (3.46)$$

elde edilir. Silindirik geometride (3.22), (3.23) ve (3.36) ‘ den ;

$$\begin{aligned} X' / X &= -\mu J_1(\mu R) / J_0(\mu R) & Y' / Y &= \lambda I_1(\lambda R) / I_0(\lambda R) \\ Z_g' / Z_g &= k_g [I_1(k_g R) K_0(k_g(R+b)) + I_0(k_g(R+b)) K_1(k_g R)] / \\ &\quad [I_0(k_g R) K_0(k_g(R+b)) - I_0(k_g(R+b)) K_0(k_g R)] \\ g=1,2 \quad k_g &= 1/(L_g^y)^2 \end{aligned} \quad (3.47)$$

özellikle formları yazılabılır. (3.47) ifadeleri (3.46) ‘in içine yerleştirilirse, (3.46) bilinmeyen olarak yetkin yarıçap ( $R$ ) ‘yi içeren bir transandan denkleme dönüşür. Bu denklem sayısal olarak çözülerek yetkin yarıçap hesaplanır.

( 3.45 ) determinantı sıfır olduğuna göre, ( 3.44 ) denklemleri lineer bağımlıdır, yani matris rankı üçtür. Bu denklemlerden ilk üçü ;

$$\begin{aligned} C^+ Y - G^+ Z_2 &= -A^+ X \\ C^+ D_2^k Y' - G^+ D_2^k Z_2' &= -A^+ D_2^k X' \\ C^+ S_2^+ Y - G^+ S_3^+ Z_2 - F^+ Z_1 &= -A^+ S_1^+ X \end{aligned} \quad ( 3.48 )$$

şeklinde yazılabilir. Bu sistem, Cramer kuralına göre çözülürse ;

$$\begin{aligned} C^+ &= A^+ X / \beta^+ Y (D_2^k X'/X - D_2^y Z_2'/Z_2) \\ F^+ &= A^+ X / \beta^+ Z_2 (D_2^k X'/X - D_2^k Y'/Y) \\ F^+ &= A^+ X / \beta^+ Z_2 [D_2^k (S_2^+ - S_3^+) X'/X + D_2^k (S_3^+ - S_1^+) Y'/Y + D_2^y (S_1^+ - S_2^+) Z_2'/Z_2] \end{aligned} \quad ( 3.49 )$$

bulunur. Burada ;

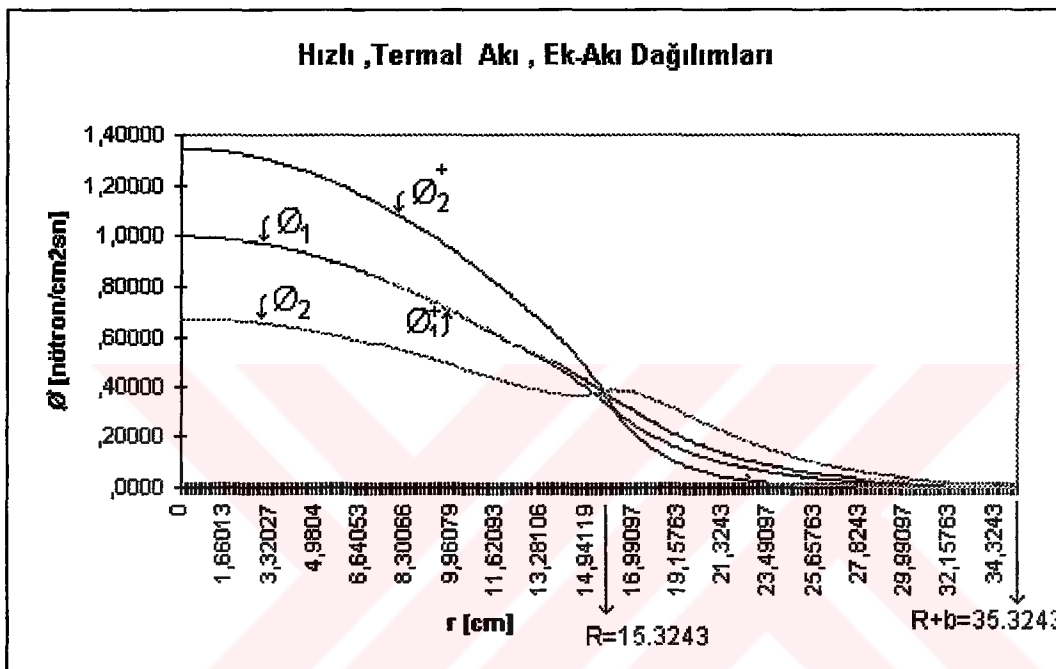
$$\beta^+ = D_2^y (Z_2'/Z_2) - D_2^k (Y'/Y) \quad ( 3.50 )$$

şeklinde tanımlanmıştır. Bu aşamada  $A^+$  sabiti cinsinden çözüm tamamlanmıştır. Bu çalışmada  $A^+$  sabiti  $\emptyset_1^+ (0) = 1$  olacak şekilde normalize edilmiştir. 75\_YIL programının doğrulanması için kalp sabitleri  $D_1^k = 1,13 \text{ cm}$ ,  $D_2^k = 0,16 \text{ cm}$ ,  $\sum_{r,1}^k = 0,0419 \text{ cm}^{-1}$ ,  $\sum_{a,2}^k = 0,06 \text{ cm}^{-1}$ ,  $\sum_{s,2 \leftarrow 1}^k = 0,0419 \text{ cm}^{-1}$ ,  $\nu \sum_{f,1}^k = 0 \text{ cm}^{-1}$ ,  $\nu \sum_{f,2}^k = 0,0834 \text{ cm}^{-1}$  alınmış ; yansıtıcı için ise  $D_1^y = 1,13 \text{ cm}$ ,  $D_2^y = 0,16 \text{ cm}$ ,  $\sum_{r,1}^y = 0,0419 \text{ cm}^{-1}$ ,  $\sum_{a,2}^y = 0,0197 \text{ cm}^{-1}$ ,  $\sum_{s,2 \leftarrow 1}^y = 0,0419 \text{ cm}^{-1}$  varsayılmıştır.

Yansıtıcı kalınlığı ise  $b=20 \text{ cm}$  kabul edilmiştir. Bu değerlerle  $S_1^+ = 0,743625$ ,  $S_2^+ = -0,0957613$ ,  $S_3^+ = -0,426978$  olarak hesaplanmıştır. Bu değerler girilerek ( 3.46 ) denklemi, bilinmeyen olan yetkin yarıçap R için MATHEMATICA [14] kullanılarak çözülmüş ve  $R = 15,3243 \text{ cm}$  bulunmuştur.  $A^+ = 1$  alınınca ;  $C^+ = -0,0000289564$ ,  $F^+ = -0,0816872$ ,  $G^+ = -0,00442707$  değerlerini alırlar. Sistem yetkin olduğuna göre ketk = 1 'dir. 75\_YIL programını test etmek amacıyla kalp 120, yansıtıcı ise yine 120 lineer sonlu elemana bölünerek,  $R = 15,3243 \text{ cm}$  alınıp, yetkinlik özdeğer hesabı yapılmıştır. 75\_YIL 'in hesapladığı ketk = 0,99945 'tir.

Bu da k<sub>etk</sub> ' de % 0,055 ( onbinde 6 kadar ) hataya karşılık gelir ve 75\_YIL 'ın k<sub>etk</sub> ' i yüksek duyarlılıkla hesapladığını gösterir.

75\_YIL programı kullanılarak, aki ve ek-aki dağılımları hesaplanmıştır. Elde edilen aki ve ek-aki dağılımları Şekil 3.4 ' de verilmiştir.

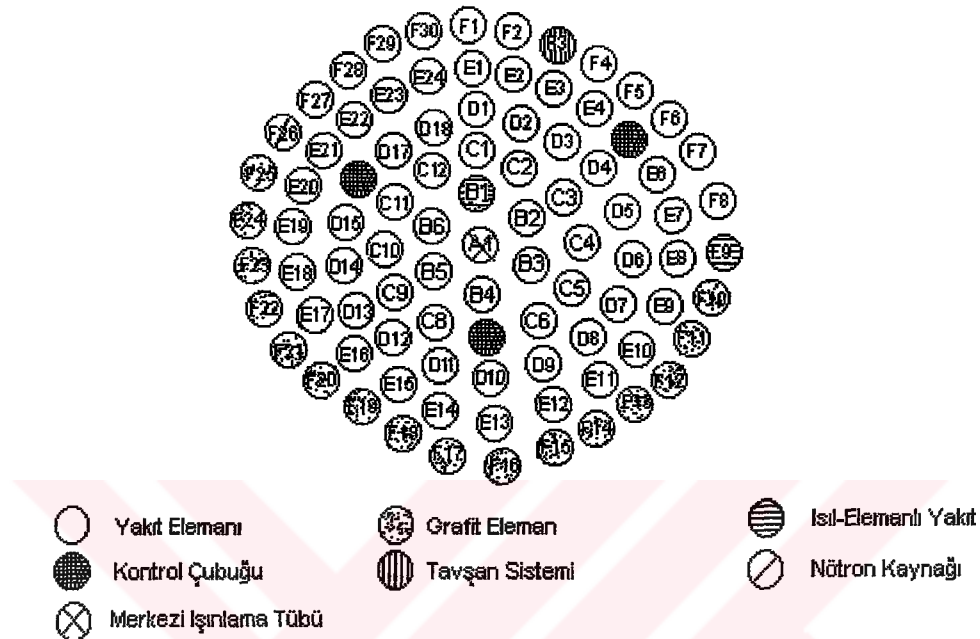


**Şekil 3.4 Yansıtıcılı Reaktörde Hızlı - Termal Grup Aki ve Ek Aki Dağılımları**

Şekil 3.4 'de kalp içinde, hızlı akının termal akıdan büyük olduğu görülürken, ek-akıda aksine bir davranış gözlemlenmektedir. Termal ek-akı, kalp içinde hızlı ek-akıdan çok daha büyktür. Bu ek-akı fiziksel yorumuya uyumlu olup, termal nötronların kalp içinde hızlı nötronlara nazaran reaktiviteye tesirleri açısından daha büyük bir öneme sahip sahip olduklarını göstermektedir.

### **III.2. İTÜ TRIGA MARK-II REAKTÖRÜ EK-AKİ HESABI**

Şekil 3.5 ‘de İTÜ Triga reaktörünün kalp düzeni sunulmuştur. Bu düzen içinde kalp, A, B, C, D, E ve F halkalarından oluşmaktadır [12];



**Şekil 3.5 İTÜ Triga Mark II Reaktörü Kalp Düzeni**

A halkası gerçekte bir halka olmayıp sadece merkezi ışınlama kanalından oluşmaktadır. B halkası 6 yakıt elemanı, C halkası ise 11 yakıt halkası ile bir su boşluğundan oluşmaktadır. D halkasının 17 yakıt elemanı ve bir su boşluğundan, E halkasının ise yine 23 yakıt elemanı ve bir su boşluğundanoluştuğu varsayılmıştır. F halkası ise 12 yakıt elemanı, 2 su boşluğu ve 16 grafit eleman içermektedir. F halkasının dışında ise grafit yansıtıcı bulunmaktadır [3]. Daha önce yapılan bir çalışmada yakıt elemanı, merkezi ışınlama kanalı, su kanalı, grafit eleman ve grafit yansıtıcı için WIMS-D / 4 programı aracılığı ile birim hücre bazında spektrum hesabı yapılarak, bunlar için iki gruplu tesir kesitleri hesaplanmıştır. Yine bu çalışmada, homojenizasyon yapılarak, tek boyutlu silindirik bir model çerçevesinde homojenleştirilmiş, halka tesir kesitleri belirlenmiştir. Bu homojenizasyona göre, reaktör dış yarıçapları sırası ile ; 2.1371, 5.9709, 9.8979, 13.8629, 17.7329 ve 21.8049 cm olan A, B, C, D, E ve F halkalarından oluşuyordu. Grafit yansıtıcı ise 51.64 cm ‘ye kadar uzanıyordu. Bu homojenizasyon sonunda çalışmada elde edilmiş iki gruplu tesir kesitleri Tablo 3.1 ve Tablo 3.2 ‘de sunulmuştur.

**Tablo 3.1 Triga Hızlı Grup Homojenleştirilmiş Halka Tesir Kesitleri**

<u>HALKA</u>	$D_1$ (cm)	$\Sigma_{r,1}$ ( cm $^{-1}$ )	$\Sigma_{s,2 \leftarrow 1}$ (cm $^{-1}$ )	$v\Sigma_{f,1}$ (cm $^{-1}$ )
<b>A</b>	1,21848	0,054012	0,053725	0.
<b>B</b>	1,01686	0,048046	0,04267	0,003199
<b>C</b>	1,02953	0,048611	0,043659	0,0029324
<b>D</b>	1,02527	0,048423	0,043329	0,0030213
<b>E</b>	1,02316	0,048328	0,043165	0,0030657
<b>F</b>	1,19994	0,033455	0,0312341	0,0012796
<b>Yansıtıcı</b>	1,30156	0,002848	0,002845	0.

**Tablo 3.2 Triga Termal Grup Homojenleştirilmiş Halka Tesir Kesitleri**

<u>HALKA</u>	$D_2$ (cm)	$\Sigma_{a,2}$ ( cm $^{-1}$ )	$v\Sigma_{f,2}$ (cm $^{-1}$ )
<b>A</b>	0,246318	0,01588	0.
<b>B</b>	0,2444494	0,07921	0,119481
<b>C</b>	0,239855	0,07394	0,109524
<b>D</b>	0,241382	0,07570	0,112843
<b>E</b>	0,242152	0,07658	0,114503
<b>F</b>	0,358530	0,0356200	0,047792
<b>Yansıtıcı</b>	0,886434	0,000194	0.

$\chi_1 = 1$ ,  $\chi_2 = 0$  alınmıştır. Verilen bu konfigürasyon ile 75\_YIL programı A halkası 28, B halkası 56, C, D ve E halkaları 84, F halkası 56, grafit yansıtıcı ise 168 lineer sonlu elemana bölünerek toplam 560 elemanlık bir sonlu eleman izgarası ile koşulmuştur. Yapılan bu koşu sonunda  $k_{etk} = 1,20667$  olarak hesaplanmıştır. Bu konfigürasyon bir de Slovenya 'da geliştirilmiş CEBIS [11] adlı sonlu fark programı ile de eşit aralıklı 200 noktalık sonlu fark izgarası ile de koşulmuş, bu koşu da  $k_{etk} = 1,20571$  olarak hesaplanmıştır. 75\_YIL ile CEBIS  $k_{etk}$ 'leri arasındaki fark % 0,08 ( onbinde sekiz ) olup, yeterli uyum görülmektedir. İki programda elde edilen halka ortalaması hızlı ve termal ek-akı ve akılar Tablo 3.3 ve Tablo 3.4 ' de verilmiştir. Sonuçlar verilirken her iki programda da  $\bar{\phi}_1(0) = \bar{\phi}_1^+(0) = 1$  olacak şekilde normalizasyon yapılmıştır.

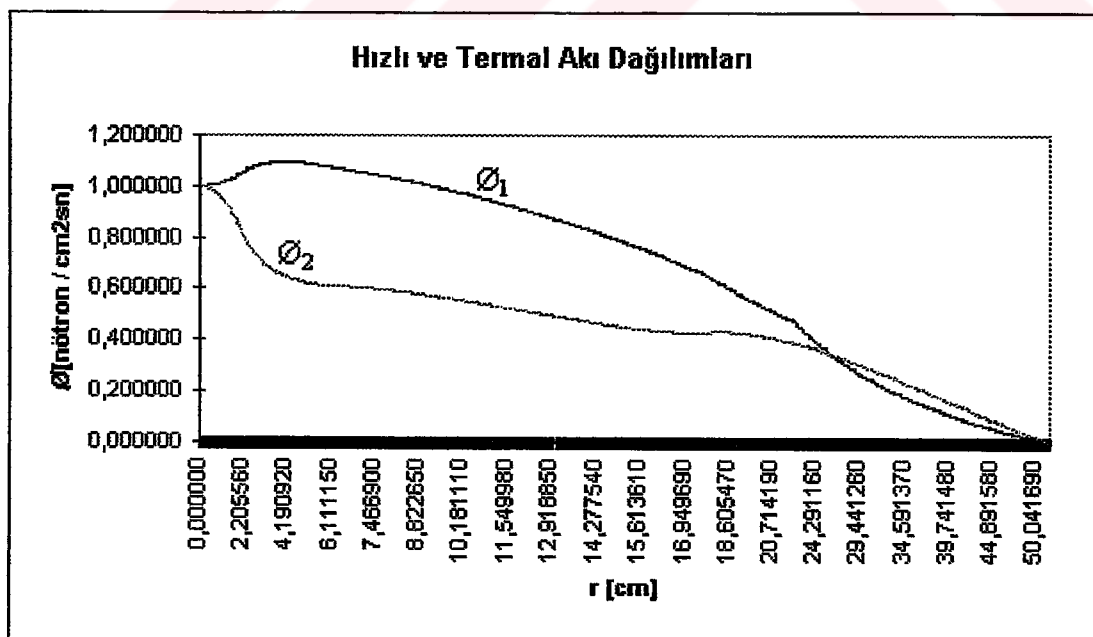
**Tablo 3.3 75\_YIL ve CEBIS Halka Ortalama Hızlı Akı ve Ek-Akı Karşılaştırması**

Ortalama Akılar	$\bar{\phi}_1^-$	$\bar{\phi}_1^+$		
<u>HALKA</u>	<b>75_YIL</b>	<b>CEBIS</b>	<b>75_YIL</b>	<b>CEBIS</b>
<b>A</b>	1,02559	1,02623	0,998737	0,998694
<b>B</b>	1,08708	1,08750	0,980442	0,980292
<b>C</b>	1,02924	1,02937	0,919929	0,919439
<b>D</b>	0,91054	0,90996	0,812503	0,811461
<b>E</b>	0,74366	0,74218	0,670831	0,669156
<b>F</b>	0,55104	0,54900	0,528326	0,526348
<b>Yansıtıcı</b>	0,14594	0,14537	0,167952	0,167220

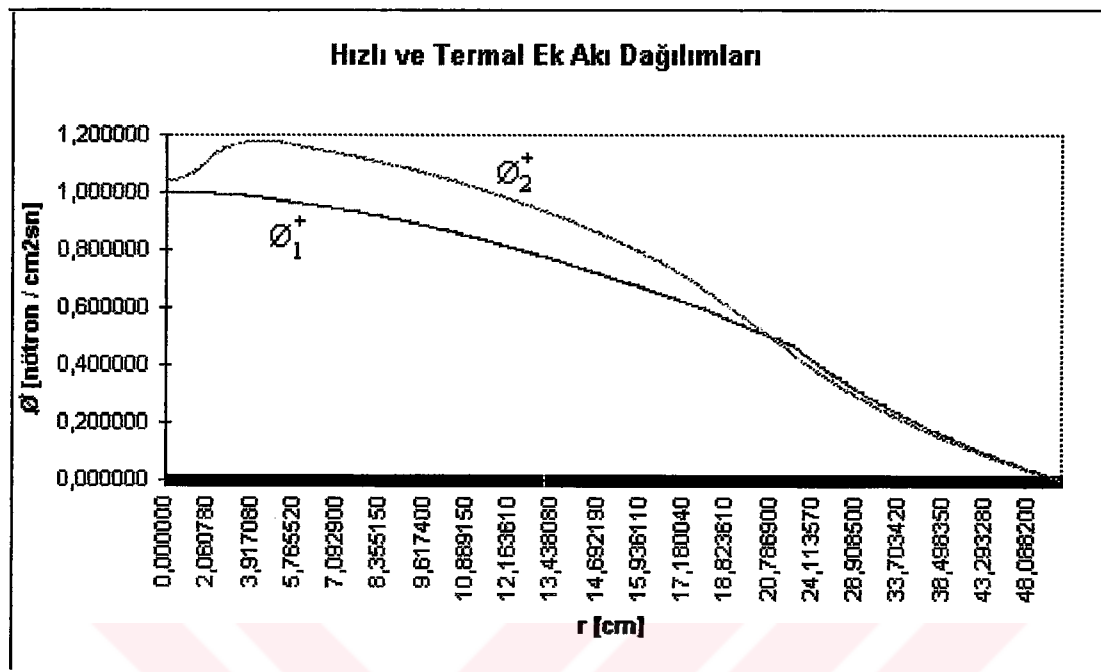
**Tablo 3.4 75\_YIL ve CEBIS Halka Ortalama Termal Akı ve Ek-Akı Karşılaştırması**

Ortalama Akılar	$\bar{\phi}_2^-$	$\bar{\phi}_2^+$		
<u>HALKA</u>	75_YIL	CEBIS	75_YIL	CEBIS
<b>A</b>	0,908650	0,908782	1,081077	1,081860
<b>B</b>	0,654977	0,6555589	1,169767	1,170215
<b>C</b>	0,588944	0,588967	1,109323	1,109454
<b>D</b>	0,515202	0,514819	0,980374	0,979645
<b>E</b>	0,442956	0,442079	0,788667	0,786479
<b>F</b>	0,416443	0,415082	0,548638	0,544937
<b>Yansıtıcı</b>	0,174268	0,173814	0,156403	0,155285

Yukarıdaki tablolarda görüldüğü gibi akı dağılımları da her iki programda çok benzerdir. Aşağıdaki Şekil 3.6 ve Şekil 3.7 ' da hızlı ve termal akı ile ek-akı dağılımları görülmektedir. Burada da tablolar için yapılan normalizasyonun aynısı yapılmıştır.



**Şekil 3.6 İTÜ Triga Mark II Reaktörü Hızlı ve Termal Akı Dağılımı**



**Şekil 3.7 İTÜ Triga Mark II Reaktörü Hızlı ve Termal Ek Akı Dağılımı**

Şekil 3.6 ve Şekil 3.7 ' de görüldüğü gibi, kalp içinde hızlı akı, termal akıdan büyük değerler alırken ; termal ek-akı, hızlı ek-akı 'ya göre kalp içinde daha büyük olmaktadır. Bu da kalp içinde eklenecek termal nötronların büyük öneme sahip olduğunu göstermektedir.

## **IV. SONUCLAR VE TARTIŞMA**

Bu çalışmada çok gruplu nötron difüzyon teorisi çerçevesinde akı yanında ek-akı hesaplayabilen bir sonlu elemanlar programı geliştirilmiştir. Sınır koşullarında uyum sağlanabilmesi için boşluk sınırında sıfır akı ve sıfır ek-akı sınır koşulu kullanılması gerekmıştır. Bu nedenle Ritz yöntemine bağlı fonksiyonel minimizasyonu ilkesinden hareket eden varyasyonel sonlu elemanlar yöntemi yerine, ağırlaştırılmış kalıntılar ilkesine bağlı Galerkin türü bir sonlu elemanlar formülasyonu kullanılmıştır. Geometri eksenel yönde sonsuz, azimutal simetriye sahip tek boyutlu silindir olarak seçilmiştir. Formülasyonda, dördüncü dereceye kadar Lagrange tipi sonlu eleman baz fonksiyonlarına yer verilmiştir.

Bu durumda kuramsal alt yapı altında geliştirilen 75\_YIL programı, önce analitik çözümü bulunan ek-özdeğer yetkinlik hesapları için kullanılmıştır. Elde edilen sayısal sonuçların, analitik sonuçlarla, gerek etkin çoğaltma katsayısı, gerekse grup akı dağılımları yönünden uyum gösterdiği saptanmış ve bu şekilde programın çalışırlığı kanıtlanmıştır. Program daha sonra İTÜ Triga Mark - II reaktörü hesabı için kullanılmış, elde edilen etkin çoğaltma katsayısı ve grup akı dağılımları, CEBIS adlı sonlu-fark programının sonuçları ile karşılaştırılmıştır. 75\_YIL ve CEBIS sonuçları arasında da yüksek duyarlılıkla uyum sağlandığı gözlemlenmiştir.

Bu çalışma çerçevesinde geliştirilen 75\_YIL programı kullanılarak daha fazla inceleme yapılabilecek bazı alanlar bulunmaktadır. Bunlar şöyle sıralanabilir. 75\_YIL, dördüncü dereceye kadar Lagrange tipi sonlu elemanlara müsaade ettiği halde, bu tezde yapılan koşular tezin bitirilmesi için olan zaman sınırlaması nedeniyle hep lineer elemanlarla yapılmıştır. Bu tür yüksek dereceli sonlu elemanlar da ek-akı hesaplarında denenebilir.

Bu yapılrsa muhtemelen bilgisayar merkez işlemci zamanında önemli ölçüde azalmalar sağlanacaktır. 75\_YIL , çok-gruplu hesaba göre yazıldığı halde , yapılan koşullarda iki gruplu teori kullanılmıştır. 75\_YIL 'in daha fazla enerji grubu ile ek-akı hesabı yapma yeteneğinden yararlanılabilir. 75\_YIL tarafından üretilen akı ve ek-akı dağılımlarının doğal kullanım yeri perturbasyon teorisi hesaplarıdır. 75\_YIL 'a ek bir modül eklenecek , çok gruplu perturbasyon teorisi çerçevesinde sonuç üretecek bir yapı da geliştirilebilir.

## **KAYNAKLAR**

- [ 1 ] **Basmante R.R.** , 1991. Implementation of WIMS-D/4 in a Personal Computer in CNEA , *NEA ,329 / 20* .
- [ 2 ] **Becker E.B. , Carey G.F., Oden J.T.**, 1983. Finite Elements An Introduction , *Prentice-Hall*.
- [ 3 ] **Büke T.** , 1997. İTÜ Triga Mark - II Reaktöründe Yakıt Elemanlarının Reaktivite Eşdeğerlerinin İki Gruplu Perturbasyon Teorisi İle Hesabı. *Doktora Tezi* , İTÜ Nükleer Enerji Enstitüsü , İstanbul
- [ 4 ] **Çağlar H.** , 1985. Yüksek Dereceli Sonlu Elemanlar Yöntemiyle İTÜ Triga Mark II Reaktörü Yetkinlik Hesapları. *Yüksek Lisans Tezi* , İTÜ Nükleer Enerji Enstitüsü , İstanbul .
- [ 5 ] **Duderstadt J.J. , Hamilton L.J.** 1976. Nuclear Reactor Analysis , *John-Wiley and Sons* .
- [ 6 ] **Lamarch , J.R.** , 1972. Introduction to Nuclear Reactor Theory , *Addison-Wesley*.
- [ 7 ] **Lewis E.E.** , 1984. Computational Methods of Neutron Transport , *John-Wiley*.
- [ 8 ] **Özgener B. , Özgener H.A.** , 1991. A Study of the Consistent and Lumped Source Approximations in Finite Element Diffusion Calculations , *Prog.Nucl.Energy* , **25** , ( 2-3 ) , 209 .
- [ 9 ] **Özgener H.A.** , 1988. An Order of Convergence Study for Lagrangian Type Finite Elements of Arbitrary Degree Using The Consistent and the Lumped Source Approximations , *Araştırma Raporu №.37* , İTÜ Nükleer Enerji Enstitüsü , İstanbul.
- [ 10 ] **Özgener H.A. , Özgener B. , Büke T.** 1998. A Comparison Of Integral Transport and Diffusion Theory Methods in Whole-Core Triga Calculations , *15<sup>th</sup> European Triga Conference* ( Basimda ) .
- [ 11 ] **Ravnik M. , Mele I.** , 1985. CEBIS- One Dimensional Two-Group Diffusion Code for Reactor Calculations, *J. Stefan Institute , Ljubljana , Slovenia*.

[ 12 ] Safety Analysis Report for the İTÜ Triga Mark-II Reactor , August 1978

[ 13 ] Spanier J. , Gelbard E.M. , 1969. Monte-Carlo Principles and Neutron Transport Problems, *Addison-Wesley* .

[ 14 ] Stephan Wolfram , 1988. MATHEMATICA , A System For Doing Mathematics By Computer , The Advanced Book Program , *Addison-Wesley*.

## **EKLER**

EK 1 : Geliştirilen 75\_YIL Programının ;

- Kodlarının ( Herhangi bir yazı editöründe açılabilen ; ‘Ascii Chr.’),
- DOS ve LINUX ortamlarında koşulabilen dosyalarının ,
- Örnek problemlerinin test verileri ve bu verilerin çıkışlarının ,

icerildiği bir adet **disket** tezin arka iç kapağına konuşlandırılmış cep içerisinde EK 1 olarak sunulmuştur.



## ÖZGEÇMİŞ

1971 yılında Bursa ‘da doğdu. 1989 yılında Bursa Anadolu Lisesi ‘nden mezun oldu. Aynı yıl İ T Ü Elektrik-Elektronik Fakültesi , Elektronik ve Haberleşme Mühendisliği bölümüne girdi. 1993 yılında bu bölümde mezun oldu ve İ T Ü Nükleer Enerji Enstitüsü ‘nde yüksek lisans programına başladı.

Halen sistem analisti ve bilgisayar programcısı olarak özel sektörde çalışmaktadır.

